

# 港湾技研資料

TECHNICAL NOTE OF  
THE PORT AND HARBOUR RESEARCH INSTITUTE  
MINISTRY OF TRANSPORT, JAPAN

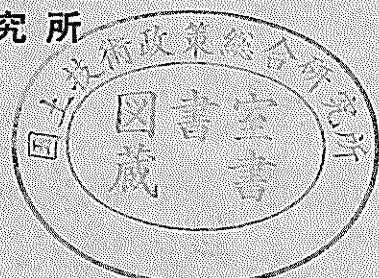
No. 123 June, 1971

第一特浚丸浚渫試験報告

松田任次  
八木得孝  
木原純律  
奥川出一  
河村洋茂  
津野村茂夫  
村悦夫



運輸省港湾技術研究所



# 第一特浚丸浚渫試験報告

## 目 次

### 要 旨

1. まえがき .....	3
2. 第一特浚丸の概要 .....	3
3. 試験の種類と日程 .....	4
4. 測定項目と測定方法 .....	5
5. 試験条件 .....	6
5.1 浚渫区域と海底土質 .....	6
5.2 海気象条件 .....	7
6. 送水試験 .....	7
6.1 送水時の吐出量 .....	8
6.2 浚渫ポンプの作動点 .....	9
7. 浚渫試験 .....	10
7.1 試験結果の概要 .....	10
7.2 浚渫時のポンプ特性 .....	14
7.3 浚渫土量と積載土量 .....	15
7.4 船速および接地圧が含泥率に及ぼす影響 .....	17
7.5 船体動搖とスエルコンベンセータの変位 .....	18
8. まとめ .....	20
9. あとがき .....	21

参考文献

記 号 表

附図および附表

## Dredging Test for the Drag Suction Dredger "Tokushun-maru No.1"

Jin MATSUDA\* Tokuji YAGI\* \*  
Sumitaka KIHARA \*\*\* Tadasu OKUDE \*\*\*  
Yoichi KAWAMURA \*\*\*\* Shigeru KONO \*\*\*\*  
Etsuo TSUMURA \*\*\*\*\*

## Synopsis

In order to grasp an actual dredging capacity of the newly built drag suction dredger "Tokushun-maru No.1", a week-long field test was conducted at Kashima Port. A main purpose of this test was to investigate influences of the ship's speed and the contact weight of head with the bottom on its suction capacity.

Analysis based on the significant data measured by the density meters and flow meters on board revealed a maximum concentration of mixture could be obtained at the dredging speed of app. 3 knots and that a concentration of mixture would increase with the greater contact weight of head with the bottom. These conclusions, however, must be examined carefully before adopting them, because results may change with soil conditions at the bottom and an increase in contact weight of head will run counter to that in ship's speed.

As far as pressure water equipment for the preparation of soil to be dredged is concerned, its effect was not made clear within this test since only one trial cycle was carried out without pressure water. However, comparison of the quantity of solids loaded in the hopper per unit of time will enable us to conclude that it has a considerably large effect upon the production.

The test was carried out under rough sea conditions. A maximum rolling angle of the ship was app. 9 degrees with the period of 8 to 11 seconds, which nearly coincided with the period of waves ( $H_{1/3} = 2.44$  meter and  $T = 9.8$  second).

- \* Head, Machinery Division
- \*\* Chief, Hydraulic Transportation Laboratory, Machinery Division
- \*\*\* Member of the Hydraulic Transportation Laboratory, Machinery Division
- \*\*\*\* Member of the Dredger and Construction Equipment Laboratory, Machinery Division
- \*\*\*\*\* Member of the Working Craft Development Laboratory, Machinery Division

# 第一特浚丸浚渫試験報告

松	田	任*
八	木	得 次**
木	原	孝***
奥	出	律***
川	村	一****
河	野	茂****
津	村	村 悅 夫*****

## 要旨

第一特浚丸の浚渫能力の実態を把握するために、鹿島港において約一週間、現地試験を行なった。本試験の主眼点は、船速および接地圧の揚土能力に及ぼす影響を調査することにあったが、本船に装備されている含泥率計および吐出流量計から貴重なデータを得ることができ、これらをもとに解析を進め、約3kmにおいて含泥率が最高値を示すことが判り、また接地圧の増加に伴なって含泥率が増加する傾向をつかみ得た。しかしながら、これらのこととは土質によって異なり、また船速および接地圧の増大は相反する素因であるから、実用に当っては十分に注意しなければならない。

また、ドラグヘッドの掘削用ジェットの効果については、ジェットを使用しない試験が1サイクルのみであったので断定するまでに至らなかったが、単位時間当たり積載土量で比較すると、その効果はかなりあるものと判断されよう。

試験中の最大ローリング角(半幅角)は約9°、またその周期は8~11secではほぼ波浪周期と一致した( $H \frac{1}{3} = 2.44m$ 、 $T = 9.8 sec$ )。

## 1. まえがき

ドラグサクション浚渫船は機動性および耐波性が秀れていることから、船舶の輶轍する航路や泊地などで浚渫に適し、また比較的厳しい海気象条件下にあって他の浚渫船に比べて稼動率が良いとされている。特に最近の船舶の大型化に伴なう航路の増深や維持浚渫にはその有利性は顕著であり、今後の浚渫工事における比重は増々増大するものと思われる。

従来、我が国で就役しているドラグサクション浚渫船は運輸省所属の4隻のみであったが、急速に進展する港湾整備に伴なう浚渫需要にかんがみ、去る昭和45年7月、本邦初の民間所有になるドラグサクション浚渫船『第一特浚丸』が完成された。

第一特浚丸は、泥艀容積約4000m<sup>3</sup>を有する我が国最大のドラグサクション浚渫船であって、これの建造に当っては官民一体の委員会が構成され、適性規模、動力様式、能力その他について綿密な検討がなされたのと同時に、ヨーロッパ各国の最新鋭船の視察を行なって新技術の導入を図った。特に、硬砂浚渫に対処するために高圧力水の適用、

大深度における能力低下を防ぐためのブレッシャ・インクリーザ(吸込管圧力助勢装置)の設置、荒天時作業のためのスエルコンベンセータ・ストロークの十分を確保など、多くの特徴を備えている。

本報告は、特殊浚渫株式会社より委託された第一特浚丸の浚渫試験の結果である。試験は昭和45年8月下旬から9月上旬にかけて約一週間、鹿島港外航航路において行なわれたが、建造後日が浅かったことや台風のために作業不可能の日もあったことなどによって、必ずしも初期の目的を十分に果し得なかつたものの、本船の送水時および浚渫時の基本的性能の概要をつかみ得たものと思われる。

なお、本試験の測定に当っては、石川島播磨重工業株式会社の御協力があつたことを附記しておく。

## 2. 第一特浚丸の概要

第一特浚丸の大きさは、海鷗丸(3200総トン)の約2倍である。<sup>1)</sup>硬砂浚渫を可能にするため、ドラグヘッドには高圧ジェット水を噴射できるノズルを有し、800m<sup>3</sup>/h × 15kg/cm<sup>2</sup>のポンプ2台で供給され、必要に応じて2台の

\* 機材部長

\*\* 機材部流体輸送研究室長

\*\*\* 機材部流体輸送研究室

\*\*\*\* 機材部作業船研究室

\*\*\*\*\* 機材部特殊作業船開発室

ポンプを直列運転して  $80 \text{ kg/cm}^2$  (但し、流量は半減) にまですることができる。また、このジェットポンプは、大深度浚渫（最大  $27 \text{ m}$ ）における能力低下を防ぐためにブレッシャ・インクリーザへも給水できるように配管されている。さらに、荒天時における稼動率を上げるために、スエルコンベンセータのストロークは  $5 \text{ m}$  あり、波浪および海底起伏に対して常に一定の接地圧が保たれるようになっている。<sup>2), 3)</sup>

以下、本船の主な要目を列記する。

全長	113.35m
長さ(垂線間長)	106.00m
幅(型)	19.60m
深さ(型)	9.00m
計画満載喫水(沿海)	6.90m
総トン数	6251.21 ton
載荷重量(沿海)	6883 ton

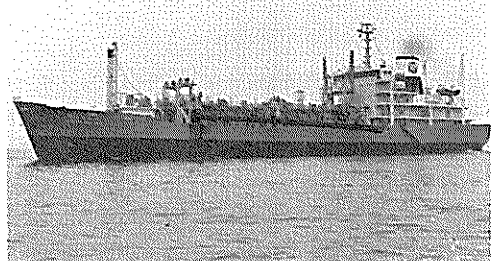


写真-1 第一特淡丸

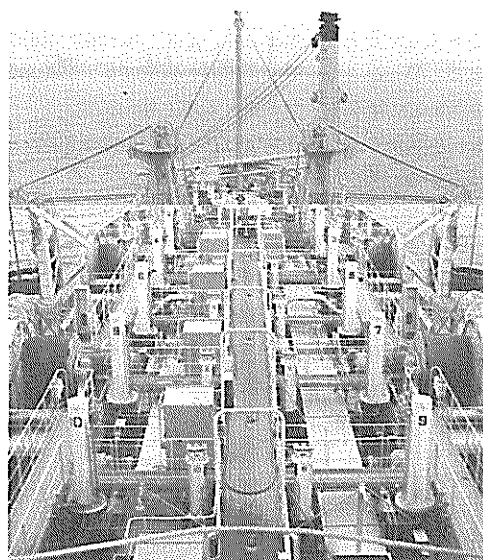


写真-2 ブリッジからみた泥鉱

泥鉱容積(オーバーフロ・レベル上段)	4091 m <sup>3</sup>
最大浚渫深度(喫水 $3.2 \text{ m}$ )	27 m
速力	
試運転最高速力	16.13 kt
航海速力	約 14.0 kt
浚渫時速力(逆汐 $2 \text{ kt}$ )	約 3.5 kt
主機関	連続最大 $4700 \text{ PS} \times 450 \text{ rpm}$ 2基
推進器	4翼 C.P.P $3200 \text{ mm} \phi$ 2基
バウスラスター	2翼 C.P.P $1525 \text{ mm} \phi$
	$400 \text{ kW} \times 6 \text{ f} \times 278 \text{ rpm}$ 1基
主発電機関	$630 \text{ PS} \times 720 \text{ rpm}$ 2基
補発電機関	$125 \text{ PS} \times 1200 \text{ rpm}$ 1基
ドラグアーム	内径 $800 \text{ mm}$ 、両舷サイドドラグ式 2基
ドラグヘッド	自動調節型および特殊型 各2個
浚渫ポンプ	$8000 \text{ m}^3/\text{h} \times 17 \text{ m} \times 170 \text{ rpm}$ 2台
同上用電動機	A.C. $3300V$ , $700 \text{ Kw} \times 1200 \text{ rpm}$ 2台
	二次抵抗制御により定格の $-20\%$ まで減速可能
ジェット・ポンプ	$800 \text{ m}^3/\text{h} \times 150 \text{ m} \times 1760 \text{ rpm}$ 2台
同上用電動機	A.C. $3300V$ , $550 \text{ Kw} \times 1800 \text{ rpm}$ 2台
ホッペ・ドア	鋼板製箱型ヒンジ式 14枚
スエルコンベンセータ	圧縮空気蓄圧油圧式 2基
	シリンドラ・ストローク $2500 \text{ mm}$
	ドラグヘッド作動範囲 $5000 \text{ mm}$
所 有	特殊浚渫株式会社
建 造 所	石川島播磨重工業株式会社

### 3. 試験の種類と日程

ドラグサクション浚渫船の作業能率は、ドラグヘッドおよび浚渫ポンプによる揚土能力と、泥鉱内における土砂の沈殿効果によって左右されるが、一般に砂質土では後者が問題になることは少なく、特に鹿島港のように締った砂質土に対しては前者が能率を決める主要因になるものと考えられる。

揚土能力に影響する因子としては、ドラグヘッドの形状、ジェットや爪の有無、船速(対地)、接地圧などがあるが、短期間でこれら諸因子の全ての組合せについて試験することは不可能である。さらに、試験当時、本船の運航は1サイクル約4時間を使い、しかも試験に供することができるのは毎回の2サイクルのみであった。そこで、今回の試験では船速および接地圧と揚土能力の関係を主眼とし、その他の問題は補足的に調査した。

表-1は実施した試験の種類と日程を示す。試験番号D-1からD-4までは船速を  $1.5 \text{ kt} \sim 4.0 \text{ kt}$  に変えた試験であり、D-5およびD-6は接地圧の影響を調べる試験

表-1 試験の種類と日程

日付	試験番号	運転条件			
		Pj (kg/cm <sup>2</sup> )	np (notch)	Fc (ton)	Vs (kt)
8.28	p.m.	試験日程の打合せ			
29	a.m. p.m.	台風12号接近のため作業中止			
30	a.m. p.m.	計器取付および調整			
	D-1	0	4	10	1.5, 2.5, 3.0, 4.0
31	a.m. p.m.	D-2 D-3	1.5 1.5	4 4	1.5, 2.5, 3.0, 4.0 1.5, 2.5, 3.0
9.1	a.m. p.m.	D-4 D-5	1.5 1.5	4 4	1.5, 2.5, 3.0, 4.0 7.5, 10, 12.5 3.0
2	a.m.	W-1 D-6		4, 5 4	
	p.m.	D-7	1.5	4	7.5, 10, 12.5 3.0
3	a.m. p.m.	D-8 W-2 D-9	1.5 1.5 1.5	3 4, 5 4	1.0 1.0 1.0 3.0
4	a.m. p.m.				スクリューにワイヤ巻きついたため作業中止

但し、 $P_j$ =ジェットポンプ圧力 ;  $np$ =浚渫ポンプのノッチ

$F_c$ =ドラグヘッド接地圧 ;  $V_s$ =船速(対地)

であるが、時間の関係もあって、これらの試験は全て1往復毎に試験条件を変えて行なった。D-7からD-9は1サイクル中の試験条件を一定にして、通常の浚渫状態での能力を調べようとしたものである。なお、浚渫試験の合間にみて左右舷浚渫ポンプの揚水試験を各々2回行なった。

表-1に示した各値は設定値もしくは目標値であって、操船および海気象条件によって実測値にはかなりの変動が見られた。

#### 4. 測定項目と測定方法

試験中に測定した項目および方法は表-2に示す通りである。測定に当ってはできるだけ本船に装備されている諸計器を利用し、読み取りを必要とする項目はブリッジからの司令で1分間隔に同時計測を行なった。

スエルコンベンセータの変位量および船体動揺の測定には、あらかじめ当研究所で用意した検出器を取り付け、そ

の出力を電磁オシログラフに導いて自動記録した。また、船体動揺については別に石川島播磨重工業株式会社がジャイロ式動揺計によつても測定した。

浚渫ポンプの吐出量は、電磁流量計の記録のほかに、オーバフロ時の喫水および所要時間からも求めた。吸込圧力および吐出圧力は、ポンプ室の圧力計によって測定するとともに、水銀マノメータを併用して隨時測定した。

船速は南防波堤上の標識間通過時間より求めた。

この他、試験前の泥艤内残水量および各行程終了時の泥艤内堆積土量は、浮子および測深錐によってサウンディングし、また浚渫土砂のサンプリングは、トラフおよびオーバフロゲートにおいて適宜行なった。

なお、今回の試験は浚渫能力を調べることに主眼をおいたため、機関その他の動力関係についての計測は行わなかった。

表-2 測定項目一覧表

No.	測定項目	測定方法	測定場所	備考
1	喫水	喫水計	ブリッジ	乗下船時喫水マークの確認
2	積載土量	積載土量計	ブリッジ	自動記録計
		レシプロド	泥船	各行程終了後、各舷5点計測
3	浚渫土量	デジタル浚渫土量計	ブリッジ	各行程毎および累計値
4	残水量	浮子による水位計測	泥船	
5	浚渫深度	深度計	ブリッジ	各舷
6	スエルコン圧力	圧力計	ブリッジ	各舷
7	スエルコン変位	ポジション・メータ	上甲板	
8	船体動搖	水位変動を圧力で検出	ブリッジ	電磁オシログラフで自動記録
		ジャイロ式動搖計	ブリッジ	
9	浚渫ボンプ流量	電磁流量計	ブリッジ	} 自動記録
10	含泥率	アイソトープ式	ブリッジ	
11	吸込圧力	真空計	ポンプ室	} 水銀マノメータ併用
12	吐出圧力	圧力計	ポンプ室	
13	回転数	回転計	ブリッジ	
14	電流	電流計	ブリッジ	
15	ジェットポンプ圧力	圧力計	ブリッジ	
16	C.P.P. 翼角	翼角計	ブリッジ	
17	土砂採取	バケツ	泥船	トラフ・オーバーフロードで1サイクル中数回
18	船速	ストップ・ウォッチ	ブリッジ	標識間時間より
19	サイクル・タイム	ストップ・ウォッチ	ブリッジ	

## 5. 試験条件

### 5.1 浚渫区域と海底土質

浚渫区域は図-1に示すように、南防波堤から約150mの距離をおいて防波堤に平行な幅350mの梯形区域であり、図中の等深線は昭和45年8月初旬の測深結果より描

いたものである。港内側のC点以内はポンプ浚渫船によってすでに浚渫済みの個所であって約-17mまで急に深くなっている。港外側は-18mの等深線で区画されている。

図-2は浚渫区域近辺の土質調査資料をもとにした土質の予想断面図である。この図から予想されることは、70~

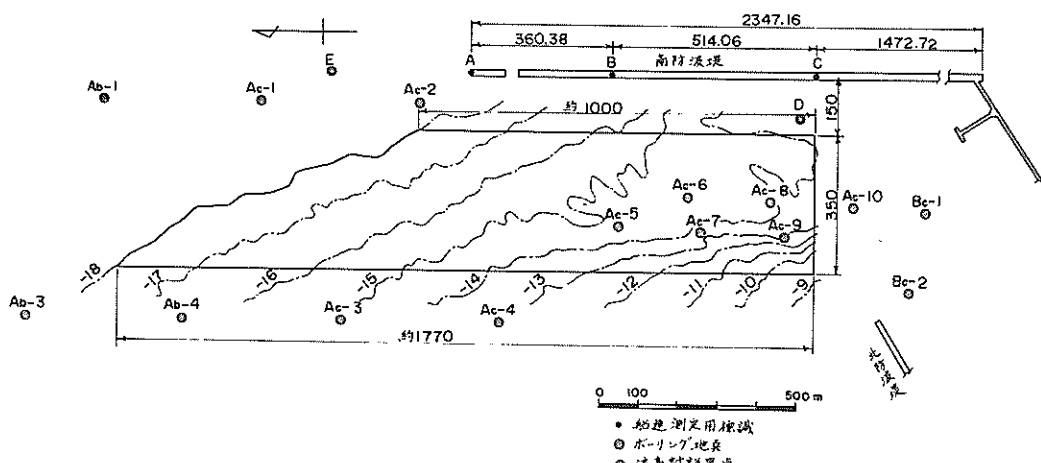


図-1 浚渫区域図

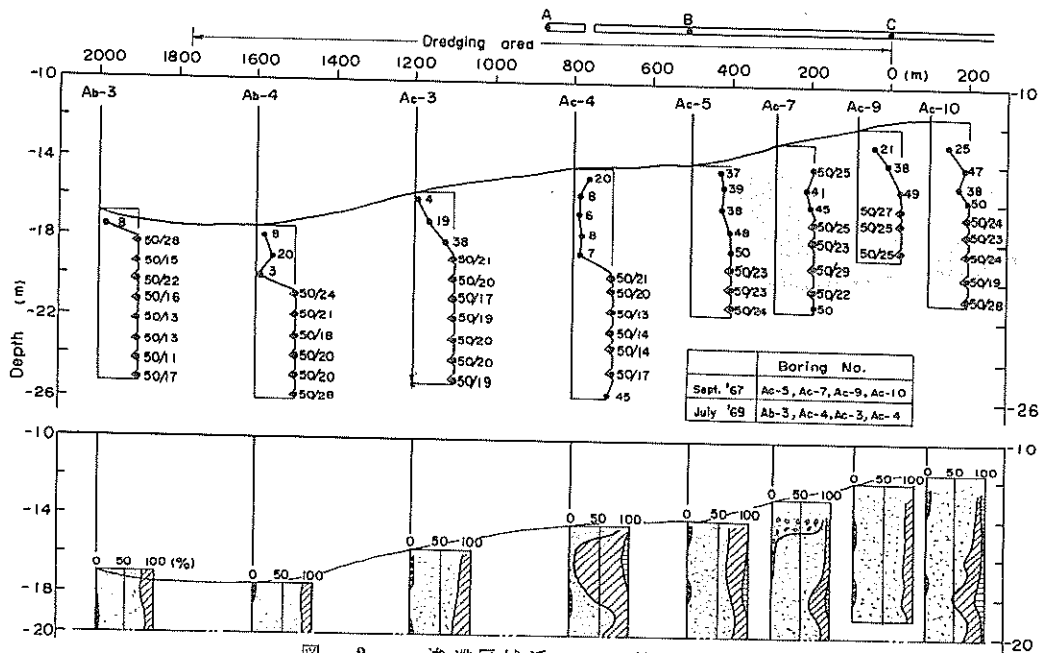


図-2 潜渫区域近辺の土質

80%は砂で局部的に砂利が混在し、海底表面から2~3m以深ではいずれもN値が50以上の硬砂質土である。また表層部について見れば、港外側は比較的軟かいが、港内側特にBC間は表層部といえどもかなり硬い土砂であることが予想される。

各試験時において採取したサンプルの篩分分析の結果は附図-1に示す通りであって、殆ど細砂に属し、若干のシルト分が含まれている。附表-1は各サンプルの比重測定結果であり、これらをまとめて示したのが表-3である。

表-3 潜渫土砂の比重

採取場所	トラフ	オーバーフローゲート	泥船
試料数	21	6	3
真比重	2.70	2.69	2.74
見掛比重(粗)	1.70	1.68	1.76
見掛比重(密)	1.86	1.84	1.93

## 5.2 海気象条件

試験期間中の海気象条件を附表-2に示す。波浪観測記録より潜渫区域に比較的近いDおよびE点(図-1参照)の最大波および $\frac{1}{3}$ 波のみ抜粋した。

8月28日に台風12号が鹿島灘沖を通過したため、同日は勿論、翌29日も風浪著しく作業は不可能であった。

試験中、海気象条件のきびしかったのは8月30日および

31日( $\frac{1}{3}$ 波高2~2.5m)であり、港外側での回頭時にはドラグヘッドが船体に接触する危険を感じたこともあり、本船の風浪による作業限界に近かった状態であったと考えられる。

## 6. 送水試験

潜渫ポンプの送水時特性は、ポンプ潜渫船、ドラグサクション潜渫船など、潜渫ポンプを用いる潜渫船にとって極めて重要な基本的性能である。本船は試験当時、各舷別々のドラグヘッド(右舷カルフォルニヤ・タイプ、左舷ダッヂ・タイプ)を装着していたので、試験は各舷毎4ノット(155 rpm)および5ノット(165 rpm)に変えて行

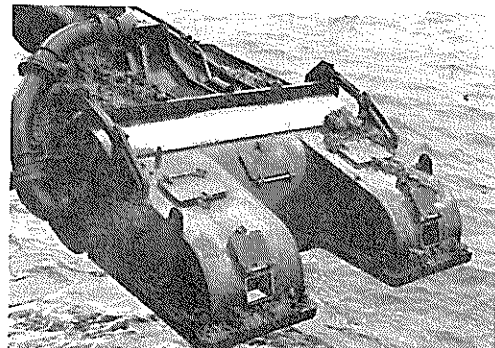


写真-3 カルフォルニヤ・タイプ

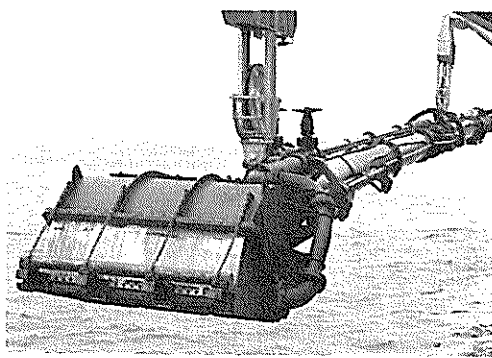


写真-4 ダッヂ・タイプ

い、ポンプ製作当時の特性曲線<sup>4)</sup>を参考にして作動点を確認した。

### 6.1 送水時の吐出量

ドラグサクション浚渫船のポンプ吐出量は、揚土能力および泥艤内における土砂の沈没効果に影響を与える重要な因子である。一般にこの種の浚渫船のように、泥艤内の積込み状態によって喫水が変化すると、浚渫ポンプの実揚程が

変るために吐出量は常に一定とはならないが、本試験では積込時の平均喫水における平均吐出量として求めた。

積載容積は、泥艤内水位を直接計測する方法と、喫水変化より求める方法を併用した。積込時間は、泥艤バルブの開から閉までの時間とした。

また、本船に設置してある電磁流量計の指示計器および自動記録の指示値は、明らかに喫水とともに吐出量が増加することを示していたが、これらの算術平均をもって平均吐出量とした。

表-4は、以上の各方法によって求められた吐出量を比較したものである。これらの各値および次に述べる揚程から得られる作動点と特性曲線を比較検討してみると、電磁流量計のものは明らかに過大になっている。したがって、本報告では泥艤内水位から求めた吐出量を採用し、以後の解析に当っては、電磁流量計の記録をその都度補正して用いることにした。

図-3は、各試験の送水時吐出量を回転数補正を行ない喫水変化に対してプロットしたもので、ほぼ直線的に変化するものとみなされるが、ポンプNo.1およびNo.2では約10%の差がある。

表-4 送水時の浚渫ポンプ吐出量

ポンプ No.	No. 1				No. 2			
	4	5	4	5	4	5	4	5
平均 喫 水 (m)	4.57	4.40	5.14	5.03	4.43	4.38	5.03	4.97
ポンプ回転数(rpm)	155	155	166	165	157	155	* 155	166
積込時間(sec)	432	371	368	368	428	367	368	367
積載容積(m <sup>3</sup> )	1185	1050	1260	1245	1130	975	955	10,90
排水量(m <sup>3</sup> )	1220	1040	1160	1130	1130	970	950	1040
泥艤水位吐出量(m <sup>3</sup> /h)	9875	10189	12326	12179	9505	9564	9342	10592
比	100	100	100	100	100	100	100	100
平均 (m <sup>3</sup> /h)	10032		12253		9535		10692	
喫水吐出量(m <sup>3</sup> /h)	10167	10092	11348	11054	9505	9515	9293	10202
比	103.0	99.0	92.2	90.8	100	95.5	99.4	95.5
平均 (m <sup>3</sup> /h)	10130		11201		9510		10202	
流量計器吐出量(m <sup>3</sup> /h)	10500	10330	12340	12280	10213	10157	10486	11557
比	106.4	101.4	100.1	100.8	107.4	106.2	112.2	108.1
平均 (m <sup>3</sup> /h)	10415		12310		10285		11557	
流量計記録吐出量(m <sup>3</sup> /h)	10490	10380	12490	12340	9940	9920	9630	10880
比	106.3	101.9	101.3	101.3	104.5	103.7	103.1	101.8
平均 (m <sup>3</sup> /h)	10435		12415		9930		10880	

\* 5ノッチとして試験を行なったが、回転数からみれば4ノッチである。

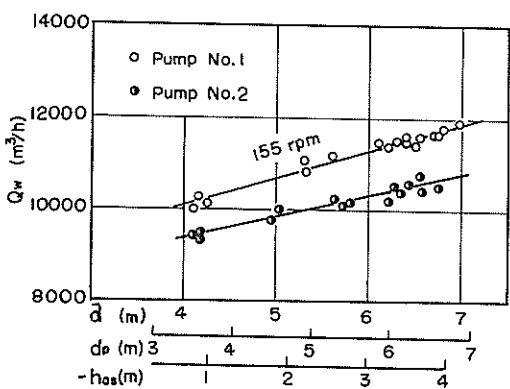


図-3 噴水による吐出量の変化

## 6.2 浣渫ポンプの作動点

前項で求めた平均吐出量および同試験中の平均揚程からポンプの作動点を特性曲線図上にプロットしたのが、図-4である。揚程算出には水銀マノメータによる測定値を用

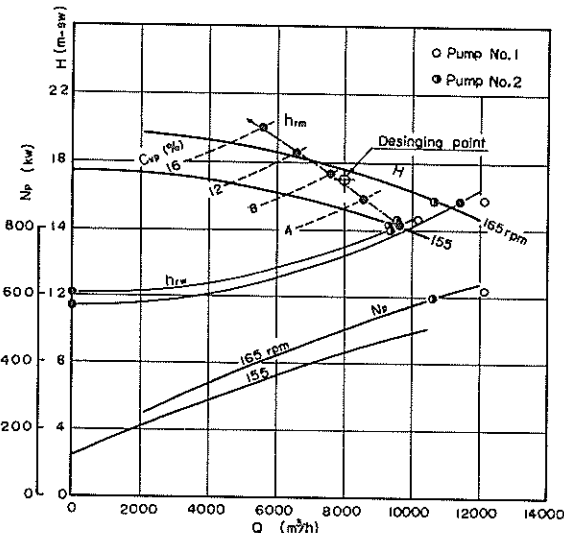


図-4 浣渫ポンプの作動点

い、海水柱に換算して示した。本ポンプの設計点は、170 rpm にて  $8000 \text{ m}^3/\text{h} \times 1.7 \text{ m}$  であるが、測定結果によれば 165 rpm においても約 40 % の吐出量増になっており、設計時の抵抗損失の過大評価を示している。

図-5 は、本船の浣渫主管系統図である。この図から判るように、損失抵抗の殆んどは実揚程で占められ、さらに管路の損失は主として吸込管側に集中されるから、吸込管の損失評価は浣渫ポンプの設計点を決める際の重要なポイントになる。

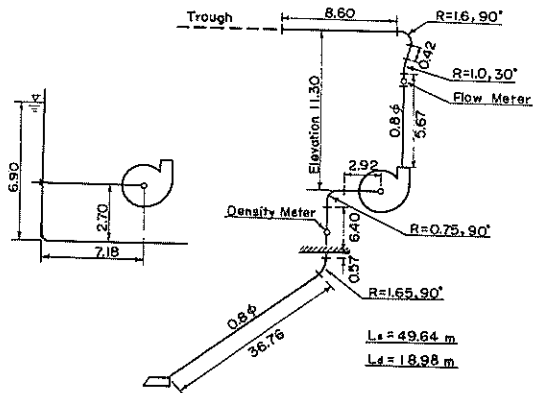


図-5 浣渫主管系統図

吸込揚程 ( $h_{sw}$ ) を清水柱で表わすと、

$$h_{sw} = (h_{as} + h_{rs} + \frac{\nu s^2}{2g}) \gamma_w \quad \dots \dots \dots (1)$$

$$h_{rs} = (\lambda s \frac{L_s}{D_s} + f_o) \frac{\nu s^2}{2g} \quad \dots \dots \dots (2)$$

ここで、 $h_{as}$  = 吸込実揚程（押込みの場合は負）

$h_{rs}$  = 吸込管損失水頭

$\nu s$  = 吸込管流速

$L_s$  = 吸込管長

$D_s$  = 吸込管径

$\lambda s$  = 管摩擦抵抗係数

$f_o$  = 曲管、バルブ、ヘッドなどの損失抵抗係数

$\gamma_w$  = 海水の比重

$\lambda s$  および  $f_o$  については、レーノルズ数 ( $Re=3.5 \sim 4.5 \times 10^6$ ) および過去のデータ<sup>5)</sup>を参考にして、 $\lambda s=0.0125$ 、 $f_o=1.24$ とする。これに先に求めた噴水による吐出量変化を加味して求めた計算値（但し、図では吸込圧力  $V_P$  (cm-Hg)

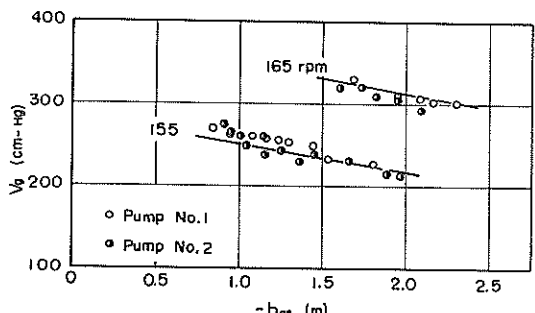


図-6 吸込実揚程による吸込圧力の変化

で示してある)と測定値を比較したのが図-6である。なお、海竜丸<sup>5)</sup>および海鷗丸<sup>6)</sup>では、 $f_0$ はそれぞれ1.00および0.91であった。

## 7. 浚渫試験

浚渫試験は、船速および接地圧と揚土能力の関係を調べるために、D-1では掘削ジェットなし、D-2~D-6で

はジェットを使用した場合について行ない、D-7~D-9は通常の運転条件下での揚土、積載能力を調査した。

### 7.1 試験結果の概要

各試験における主要な測定値および計算値を表-5にまとめて掲載した。以下各項目について説明する。

#### (1) 行程

本船は、通常図-1に示す浚渫区域を3~4往復して満

表-5-① 浚渫試験結果の一覧表

Test No.	D-1 (Aug 30, pm)							
行程(1) S	1	2	3	4	5	6	7	8
浚渫時間 $\Delta T_D$ (min)	22.8	202	9.7	12.5	6.4	10.6	6.3	(95.0) 6.5
オーバフロ時間 <sup>(2)</sup> (オーバフロ開始までの時間) $T_o$ ( $\tau_o$ ) (min)					84.0 (10.9)			
浚渫深度 <sup>(3)</sup> $\Delta G_D$ (m)	15.8 12.8	16.7 13.2	15.7 13.2	17.2 12.9	16.0 12.2	16.0 10.7	16.2 13.2	15.7 10.7
ポンプ回転数 <sup>(3)</sup> $n_p$ (rpm)	154 156	153 155	153 155	154 156	154 154	154 155	153 154	154 156
浚渫土量 $\Delta G_H$ (m <sup>3</sup> )	-	-	-	-	-	-	-	-
ポンプ吐出平均含泥率 <sup>(3)(4)</sup> $C_{vp}$ (%)	-	-	-	-	-	-	-	-
オーバフロ含泥率 <sup>(4)</sup> $C_{vo}$ (%)	2.1	-	-	4.2	-	1.4	-	-
泥艙内平均含泥率 <sup>(4)</sup> $C_{vH}$ (%)	3.6	5.6	9.1	10.4	11.7	14.5	17.5	21.4
積載土量 <sup>(5)</sup> $\Delta G_H$ (m <sup>3</sup> )	200	127	111	122	87	85	58	(883) 93
船速 <sup>(6)</sup> V (kt)	1.18	1.42	2.79	2.98	4.39	3.84	4.68	4.45
波高(周期) <sup>(7)</sup> H, (T) ( $\frac{m}{sec}$ )	$\frac{max}{1/3}$		3.19 (5.5) 2.34 (6.1)					
風速 <sup>(8)</sup> V <sub>w</sub> (m/sec)	NNE 10.9							

注 (1) 奇数番目の行程は港内から港外への浚渫

(2) オーバフロ時間とは、オーバフロしながら浚渫している時間、

∴全浚渫時間 = (オーバフロ開始までの時間) + (オーバフロ時間)

(3) 上段は1号ポンプ(右舷)、下段は2号ポンプ(左舷)

(4) 含泥率は真容積(真比重=2.65)で示す。

(5) 全積載土量は最終行程の括弧内に示す。

(6) 船速は標識A-C間の平均船速。

(7) 波高(周期)は、浚渫中のE点の平均値。

(8) 風速は浚渫中の平均値。

表 - 5 - ②

表 - 5 - ④

Test No.	D - 2 (Aug 31, am)								Test No.	D - 4 (Sept 1, am)							
	S	1	2	3	4	5	6	7	8	S	1	2	3	4	5	6	7
$\Delta TD$ (min)	14.0	14.8	9.1	9.7	7.8	7.8	10.5	(8.39) 10.2	$\Delta TD$ (min)	16.0	19.8	10.6	15.8	10.5	12.3	7.1	(10.28) 10.7
To( $\tau_0$ ) (min)	7.19 (11.9)								To( $\tau_0$ ) (min)	8.99 (12.9)							
hu (m)	11.2 12.9	15.6 12.7	16.2 12.9	16.0 13.6	15.8 12.6	15.7 13.5	16.1 13.0	16.5 13.4	hu (m)	16.2 13.2	15.2 11.2	15.5 10.9	14.2 9.7	15.3 10.5	15.6 10.8	16.4 12.6	16.1 11.0
np (rpm)	15.5 15.6	15.4 15.4	15.2 15.4	15.2 15.4	14.9 15.3	15.0 15.4	15.2 15.4	14.8 15.2	np (rpm)	15.3 15.7	15.3 15.6	15.3 15.6	15.2 15.6	15.2 15.6	15.6 15.6	15.3 15.5	15.1 15.5
$\Delta GD$ (m)	13.4 14.8	18.8 14.0	9.6 9.7	11.6 9.6	9.1 8.5	8.7 9.5	12.9 11.0	12.0 14.3	$\Delta GD$ (m)	13.4 10.4	15.8 11.2	8.4 8.0	24.6 11.6	14.3 12.4	19.1 11.1	7.3 6.3	18.0 11.8
Cvp (%)	6.6 8.2	8.7 6.9	6.8 7.9	8.1 7.0	8.0 8.0	7.4 9.1	8.3 7.5	8.2 10.8	Cvp (%)	5.5 5.5	4.9 4.4	5.0 5.5	10.8 5.0	9.8 9.3	11.5 11.5	6.5 6.6	11.2 8.8
Cvo (%)	-	3.0	-	2.3	-	2.3	-	2.8	Cvo (%)	-	-	-	-	-	-	-	-
CvH (%)	3.4	6.8	11.5	14.2	15.9	19.7	24.1	28.2	CvH (%)	1.6	4.9	7.3	14.4	19.2	21.9	23.3	29.4
$\Delta GH$ (m)	17.6	17.2	11.4	13.9	9.4	13.6	18.6	(11.60) 14.3	$\Delta GH$ (m)	13.9	12.7	6.5	29.9	21.2	17.3	5.3	(12.56) 18.8
Vs (kt)	2.39	2.10	3.15	2.83	3.88	3.53	3.09	3.05	Vs (kt)	1.69	12.5	2.44	1.85	2.62	2.58	4.59	3.53
H(T) (m) (sec)	$\max_{\sqrt{3}}$ 2.93 (9.0) 2.24 (9.2)								H(T) (m) (sec)	$\max_{\sqrt{3}}$ 2.33 (9.5) 1.57 (9.5)							
Vw (m/sec)	NNE 4.2								Vw (m/sec)	SSW 5.7							

表 - 5 - ③

表 - 5 - ⑤

Test No.	D - 3 (Aug 31, pm)						Test No.	D - 5 (Sept 1, pm)					
	S	1	2	3	4	5		S	1	2	3	4	5
$\Delta TD$ (min)	16.0	13.8	11.2	15.4	11.1	(8.18) 18.8	$\Delta TD$ (min)	7.2	12.1	9.8	18.1	8.8	(7.26) 16.6
To( $\tau_0$ ) (min)	6.95 (12.2)						To( $\tau_0$ ) (min)	5.98 (12.8)					
hu (m)	16.1 12.2	16.7 13.7	15.7 12.7	16.5 12.2	15.9 12.7	16.7 13.5	hu (m)	15.9 13.1	15.8 13.0	16.0 12.8	15.2 9.7	16.7 12.7	15.9 10.2
np (rpm)	15.5 15.6	15.3 15.5	15.3 15.5	15.2 15.4	15.2 15.4	15.3 15.4	np (rpm)	15.4 15.7	15.3 15.6	15.3 15.5	15.4 15.6	15.3 15.6	15.3 15.5
$\Delta GD$ (m)	13.3 15.8	21.1 18.8	10.1 9.0	16.3 16.0	13.6 12.8	20.1 18.5	$\Delta GD$ (m)	5.7 8.2	11.5 14.2	11.4 9.9	27.2 22.0	12.6 14.4	27.7 21.1
Cvp (%)	5.6 7.6	10.9 10.6	5.7 5.6	6.8 7.5	7.7 7.6	9.8 8.7	Cvp (%)	5.7 10.6	6.3 9.7	7.8 7.6	11.1 9.6	10.0 16.2	12.4 10.0
Cvo (%)	-	1.4	-	0.6	-	5.0	Cvo (%)	-	-	-	5.6	-	3.7
CvH (%)	4.7	10.2	14.3	17.3	21.2	28.3	CvH (%)	* -	5.1	8.3	13.7	19.4	29.0
$\Delta GH$ (m)	18.4	2.47	13.9	14.4	18.8	(11.61) 2.58	$\Delta GH$ (m)	* 262	10.6	25.0	22.4	(12.39) 3.97	
Vs (kt)	1.91	2.14	2.69	2.15	2.91	2.41	Vs (kt)	4.05	2.92	3.13	2.11	2.75	2.37
H(T) (m) (sec)	$\max_{\sqrt{3}}$ 32.7 (9.0) 2.44 (9.8)						H(T) (m) (sec)	$\max_{\sqrt{3}}$ 2.28 (9.7) 1.58 (9.4)					
Vw (m/sec)	ENE 3.2						Vw (m/sec)	SSW 5.8					

\* 第1行程ではオーバフローしていない。

表-5-⑥

Test No.	D-6 (Sept 2, am)					
S	1	2	3	4	5	6
$\Delta TD$ (min)	86	12.3	10.8	12.9	9.8	(67.2) 12.8
To( $\tau_0$ )(min)	54.5 (12.8)					
hu (m)	162 12.7	16.5 12.7	16.6 12.7	16.3 12.6	16.6 13.4	16.0 13.5
np (rpm)	154 15.7	153 15.5	153 15.6	153 15.6	153 15.5	152 15.6
$\Delta GD$ (m)	82 85	130 12.6	154 13.7	170 15.1	141 11.1	140 13.9
Cvp (%)	68 82	72 8.0	10.1 10.5	9.1 9.2	10.4 8.8	7.1 8.2
Cvo (%)	-	-	-	2.9	-	2.8
CvH (%)	-	5.2	9.2	14.6	20.4	25.8
$\Delta GH$ (m)	282					
Vs (kt)	3.91	3.01	3.08	2.96	3.12	2.82
H(T) (m/sec)	$\max_{1/3}$ 16.4 (7.8) 12.3 (9.3)					
Vw (m/sec)	SSW 7.0					

表-5-⑧

Test No.	D-8 (Sept 3, am)					
S	1	2	3	4	5	6
$\Delta TD$ (min)	91	86	88	98	74	(52.1) 8.4
To( $\tau_0$ )(min)	36.8 (15.3)					
hu (m)	16.9 13.4	15.9 12.6	15.3 10.7	16.1 13.3	16.3 13.4	16.3 13.4
np (rpm)	149 10.3	146 10.3	147 10.1	145 10.2	145 10.1	145 10.1*
$\Delta GD$ (m)	104 11.6	97 9.3	11.3 10.3	11.4 10.9	9.0 9.0	11.3 9.3
Cvp (%)	9.7 14.1	8.7 9.5	10.0 10.0	8.8 9.3	9.2 10.8	10.3 9.1
Cvo (%)	-	-	-	1.7	0.6	1.6
CvH (%)	-	5.5	8.3	11.1	15.3	19.2
$\Delta GH$ (m)	262					
Vs (kt)	2.47	3.33	3.04	2.93	3.86	3.11
H(T) (m/sec)	$\max_{1/3}$ 1.46 (11.5) 0.99 (9.1)					
Vw (m/sec)	W 4.0					

\* 2号ポンプ回転数計指示値は異常である。

表-5-⑨

Test No.	D-9 (Sept 3, pm)					
S	1	2	3	4	5	6
$\Delta TD$ (min)	8.5	10.4	9.6	11.1	9.1	(58.8) 10.1
To( $\tau_0$ )(min)	46.6 (13.3)					
hu (m)	162 12.2	157 13.1	160 13.1	16.0 13.0	15.9 12.8	15.9 13.0
np (rpm)	155 15.6	153 15.5	153 15.5	152 15.4	153 15.4	153 15.4
$\Delta GD$ (m)	80 8.5	169 9.8	97 10.9	166 10.7	175 11.4	112 10.3
Cvp (%)	5.8 8.5	8.4 7.8	6.9 7.9	9.1 8.9	12.2 8.9	7.8 7.1
Cvo (%)	-	2.1	-	3.3	-	2.1
CvH (%)	-	6.8	10.5	14.9	21.0	26.5
$\Delta GH$ (m)	327					
Vs (kt)	3.88	2.80	3.11	2.81	2.94	1.98
H(T) (m/sec)	$\max_{1/3}$ 1.51 (8.3) 12.1 (8.5)					
Vw (m/sec)	SSW 9.0					

\* 左舷 ドラグアーム・ウインチ故障

載状態になるが、試験中喫水或いは試験時間を考慮して適宜浚渫を打ち切ったから、必ずしも満載状態に達していない場合もあった。浚渫は港内側から始めて港内側で終るようにならなかったから、奇数番目の行程は港内から港外へ向って浚渫すると言う方向の意味も含んでいる。

### (2) 浚渫時間およびオーバフロ時間

ここで言う浚渫時間とは、泥艤パルプを開いてから閉じるまでの時間であるから、積込時間と同じ意味のものである。オーバフロ時間とは、オーバフロ後浚渫を終了するまでの時間であり、これとオーバフロ開始までの時間との和が1サイクル中の全浚渫時間となる。なお、D-1～D-6の試験は、1往復(2行程)毎に船速または接地圧を変えており、本来の浚渫作業状態とは異なるから、全浚渫時間そのものの意味は少ない。

今回のように浚渫区域の距離が短かく、且つ土砂が締っていると、1行程当たりの積載土量が少なく、勢い行程数を増さなければならない。

行程数が増えると、各行程終了後の回頭に要する時間も全

体の能率からみると無視することはできなくなってくる。表-6は回頭時間を港外側および港内側に分けて各試験毎に示したものである。ここで回頭時間は浚渫終了から次の行程の浚渫開始まで、すなわち泥艤パルプを閉じてから再び開くまでの時間とした。回頭時間はその時の海気象条件、海域状況、喫水などによって影響されるために一概には言えないが、今回得られた結果では最大11.3 min、最小6.2 min(いずれも港外側)で、全平均は約8.0 minであった。D-1～D-3では台風の余波のためか、以後の試験より若干回頭時間が長くなっているが、全体的にみれば港外側、港内側別およびその他の影響は少ないと見てよいだろう。これら回頭時間は、いずれもバウスラスターを用いた場合であり、これに浚渫ポンプの吐出水力を併用すると、約7 min程度に短縮される。

なお、海龍丸(バウスラスターなし)の同海域での回頭時間は16～22 min<sup>5)</sup>であった。

表-6 回頭時間(min)

Test No.	D-1	D-2	D-3	D-4	D-5	D-6	D-7	D-8	D-9	平均
回頭場所										
港 外 側	8.8	8.3	9.6	9.1	7.6	7.2	6.8	7.2	6.6	7.9
港 内 側	9.4	7.5	8.8	7.8	7.3	7.5	7.7	9.4	7.7	8.1

### (3) 浚渫深度

浚渫区域の海底面は、図-1および2で判るように、港内側より港外側に向てなだらかな下り勾配である。表-5中の浚渫深度は、各行程におけるドラグヘッド深度の最大および最小値に試験時の汐位を補正し、工事基準面に換算したものである。

### (4) ポンプ回転数

浚渫中の浚渫ポンプ回転数は負荷の影響で若干変動する。表中の数値はそれらの平均値であり、±1～2 rpmの変動が受けられた。

### (5) 浚渫土量

浚渫土量は、各行程の浚渫時間内の吐出量および含泥率の記録から求めたもので、各ポンプ別に示した。

### (6) ポンプ吐出平均含泥率およびオーバフロ含泥率

本船にはアイントープ式の含泥率計が装備されており、浚渫中のポンプ通過含泥率が連続して記録される。表中の数値は、浚渫時間中の各ポンプ別の平均真容積含泥率(真比重=2.65)である。従来、海底状態における浚渫土量を直接把握したい意向もあって、含泥率や土量を見掛容積で表わすことが多かったが、多くの場合海底状態での土砂の

見掛け比重を認知することは困難であり、また、本例のように浚渫土砂、泥艤内堆積土砂およびオーバフロ土砂は粒度構成や見掛け比重が異なっている、などのことから本報告では以後特別の断りがない限り、真容積をもって示することにした。

オーバフロ含泥率はオーバフロゲートより流出する土砂水をバケツで採取して求めたもので、採取回数および時刻は各行程中適宜行なった。

### (7) 泥艤内平均含泥率

各行程前後の喫水変化から積載重量を求め、含泥率に換算した。ただし浚渫終了直後はオーバフロレベル以上に水が盛り上っているから、これらの水が流出した時点、すなわち*i*番目行程終了時の喫水は、(*i*+1)番目行程開始時のものを採用した。

### (8) 積載土量

表には各行程毎の積載土量を記載し、最終行程括弧内に全積載土量を示した。ただしD-5以後の試験では第1行程中にオーバフロしないから、第1および第2行程での積載土量の和として示した。

なお、泥艤内に積み込まれた土砂の見掛け容積を知るため

に、測深錐を使ってサウンディングを行なった。しかしサウンディングは1回当たり10箇所であり、また実際の泥鉢内の土面にはかなり凹凸があるから、サウンディング土量は正確を期し難い。附表-3は泥鉢内の土砂の見掛け比重を1.88(表-3の平均値)として積載土量を換算し、サウンディング土量と比較したもので、最終土量にして±5~6%程度の相違を示している。

#### (9) 船速

浚渫中の船の対地速度は、揚土能力に影響を及ぼす一つの要因である。 $D-1 \sim D-4$ の試験では1往復毎に目標船速をえて行なったが、風浪その他の関係で目標船速を保つことは極めて困難であった。

浚渫は南防波堤に沿ってほぼ平行に行われたため、防波堤上に設置した標識間の通過時間を測定して平均船速を求め、表中に示した。しかし、実際には各行程中における船速の変動もあることが予想されたので、中間点(図-1のB点)にも標識を定めて2区間に分け、それぞれの平均船速をも求めた(附表-4参照)。

#### (10) 波高および風速

附表-2から、各試験中のE点(図-1参照)の平均波高および周期と、平均風速および風向を示す。

#### 7.2 浚渫時のポンプ特性

現地試験において土砂混合時の浚渫ポンプの特性を把握することは極めて困難である。ポンプ回転数および含泥率が當時変動しており、さらにドラグサクション浚渫船では常に喫水が変化することもあって、ポンプの作動点は一層複雑な動きをする。したがって、ここではポンプの圧力や吐出量の変化を各行程中の平均値としてとらえて、作動点の移動を傾向的に求めてみた。

##### (1) 含泥率による吐出量低下

本船では含泥率および吐出量が同一チャートに自動記録され、図-7はその一例である。ドラグサクション浚渫船の浚渫ポンプはいわゆる低揚程ポンプであり、抵抗損失の大部分が実揚程で占められるため、浚渫時の抵抗増加によって吐出量は大幅に低下することが考えられる。図-7で判るように、含泥率と吐出量の相互変化は比較的明瞭に示

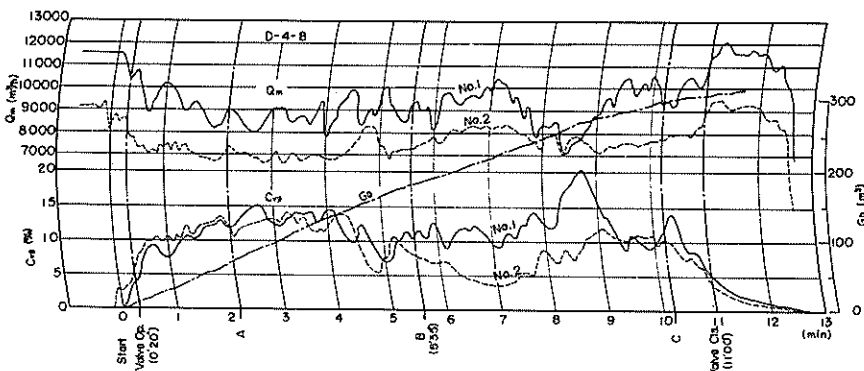


図-7 含泥率、吐出量および積算土量の一例

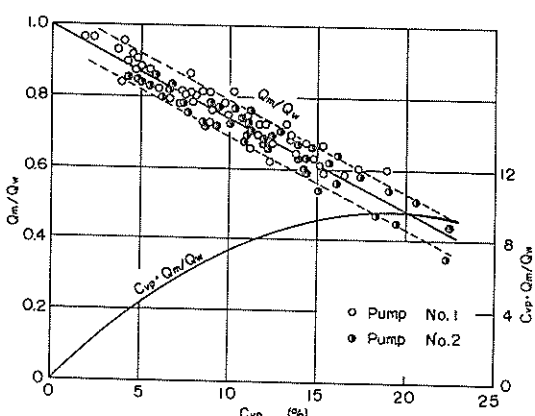


図-8 含泥率による吐出量低下

され、管路系が短かいために含泥率の変化は直ちに吐出量の変化となって現われるものであろう。

そこで、各記録中これらの変化の対応が頭著に現れている点を抽出してプロットしたのが図-8である。ただし吐出量は回転数変動の影響を除くため、送水時吐出量との比として示してある。測定した範囲では吐出量は、含泥率に対してほぼ直線的に低下することが判る。

また、図中の( $C_v p \cdot Q_m / Q_w$ )曲線は浚渫土量とも言えるものであって、含泥率約19%において最高値を示している。しかし実際には喫水による吐出量変化を考慮すれば、吐出量低下曲線は図より若干急勾配になると予想されるから、最高点はやや含泥率の低い方へ移るであろう。

##### (2) 土質係数について

浚渫時の抵抗損失を求めるに当っては、その増加割合を

決める土質係数 ( $\beta$ ) が必要である。いま吸込管のみに着目して土質係数を求めてみよう。土質係数は

$$\beta = \left\{ \frac{hsm - \gamma mhas - Cv_p(\gamma_s - \gamma_w)hu}{hrs} - 1 \right\}$$

ここで、 $hsm$ =浸漬時の吸込揚程

$h_r s = h_{sm}$  と同一吐出量における送水時の損失水頭

$hu$  = 淹没深度

$\gamma_m$  = 混合水の比重

$\gamma_s$  = 土砂の真比重

CvP=ポンプ通過含泥率

さて、*hsm*, *has* および *hu* は 1 分間隔の計測であるから、それらと含泥率の自動記録上の個々の点との対応を求めるることは適切でない。そこで、浚渫時間中の各平均値をもとに土質係数を算出し、含泥率との関係で示したのが図-9 である。土質係数は水平管路の場合では流速の関数となる

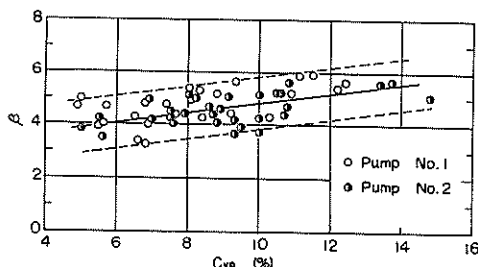


図-9 吸込管の土質係数

が、ドラグサクション浚渫船では垂直管および斜管部が大半を占め、また本例では土粒子沈降速度と管内流速の比がかなり大きいから、流速による影響は殆んど無視できよう。図で判るように、土質係数は含泥率の増加に伴なって若干大きくなる傾向にある。含泥率が高い場合はドラグヘッドの土中への喰い込みによる入口抵抗の増加であり、低含泥率ではこの喰い込みが少ないので、従来から言われている土質係数<sup>7)</sup>に近い値を示している。

### (3) 渡辺重シズの作動旨の移動

滲溝時の抵抗損失( $h_{rm}$ )は

$$h_{rm} = \gamma_m h_t + (\gamma_m - \gamma_w) h_u + \{1 + \beta(\gamma_m - \gamma_w)\} h_{rw} \quad \dots \quad (4)$$

たたかへ *ht* = 寒揚程

*h r w* = 送水時の全管路の損失水頭

実揚程は常に変化しているが、ここでは送水試験時の平均実揚程  $ht=1.02m$  とし、浚渫深度は浚渫試験の全平均  $1.55$

$m$ とした。また、前項で求めた土質係数は駆込側のみであるが、吐出側を含めると若干小さくなるから、ここでは $\beta = 4.5$ とした。以上の諸数値から算出した抵抗損失曲線上に吐出量低下率が求めた作動点を図-4に示す。これら作動点の揚程( $H_m$ )と送水時の揚程( $H_w$ )から得られる揚程比( $H_m/\gamma_m H_w$ )は、低含泥率において1に近く、高含泥率になると小さくなる。

### 7.3 淹没土量と積載土量

ここで言う浚渫土量とは浚渫時間内に浚渫ポンプを通過した土量であり、積載土量とは同時間内に泥艤内に堆積した土量である。

本船にはデジタル浚渫土量計が装備されているが、たまたま試験期間中は故障のため使用できなかった。したがって、ここではポンプ吐出量および含泥率の記録より浚渫土量を求めた。吐出量は記録紙上の浚渫時間内の平均を求めるとともに、先に求めた平均含泥率と吐出量低下率から算出したが、両者はほぼ近似していたからそれらの平均をもって浚渫時の平均吐出量とした。ただし、送水試験の所で述べたように、流量計の指示値は泥船容積から求めた吐出量より過大に記録されるから、各浚渫試験のオーバーフロまでの積込量から求めた吐出量によって補正しなければならない。

1行程中の各ポンプの浚渫土量 ( $\Delta G_D$ ) は次の通りである。

ここで、 $Q_m$ =浚渫時間中の平均吐出量

e 三叶出量補正係数(0.93)

$\Delta T_D$  = 1 行程中の浚渫時間

これとは別に、吐出量および含泥率の記録を数秒間隔に区切って土量を算出し、それらを積算して浚渫土量を求めたが(図-7参照)、これらは式(6)の浚渫土量に極めて近似し、平均吐出量および含泥率から浚渫土量を求めることが妥当であることを確認した。

図-10は各行程中の単位時間当り浚渫土量を含泥率に對してプロットしたものである。ポンプNo.1とNo.2では約10%の差があるが、これは送水試験で確認された吐出量の差とみなしてよいだろう。なお、図中の点線は送水時吐出量を  $11000 \text{ m}^3/h$  として吐出量低下曲線から算出したものである。

各行程毎の積載土量 ( $\Delta G_H$ ) は下式より求め、表-5に示す。

$$\wedge_{G_H} = \nu_H : \{ G_{nH}(i+1) - G_{nH}(i) \} \dots \dots \dots \quad (6)$$

たがう、 $V_H$  = 泥漬容積 ( $40.91 m^3$ )

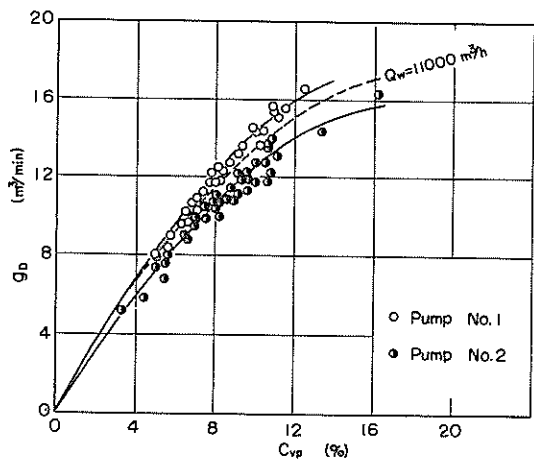


図-10 単位時間当たり浚渫土量

$CvH(i+1) = (i+1)$ 番目行程の泥鉢内平均含泥率

$CvH(i) = (i)$ 番目行程の泥鉢内平均含泥率

次に、単位時間当たり積載土量にして示したのが表-7である。オーバフロ後は $12\sim17 m^3/min$ で、全平均は $14.7 m^3/min$ である。ジェットを使用しない試験はD-1のみであり、しかも吐出量および含泥率の記録に失敗したため浚渫土量は不明であるが、積載土量でジェット使用時のものと比較してみると、かなり少なく約 $9.2 m^3/min$ である。データ数が少ないので結論的なことは言えないが、本試験時の土質に対してはジェットの効果はかなりあるものと判断してよいだろう。

積込効率は単位時間当たりの浚渫土量に対する積載土量の割合であるが、ここではオーバフロ後の各行程の平均的な

表-7 単位時間当たり積載土量

( $m^3/min$ )

<i>S</i>	1	2	3	4	5	6	7	8	9
1	8.8	12.6	11.5	8.7	13.6	13.5	15.5	14.8	11.0
2	6.3	11.6	18.0	6.4	10.8	20.3	19.3	11.5	11.2
3	11.5	12.6	12.5	6.2	13.8	15.9	14.6	15.2	16.1
4	9.8	14.4	9.4	19.0	20.2	25.5	12.5	25.9	19.4
5	13.6	12.1	16.2	—	23.7	14.1	12.3	15.2	11.2
6	8.0	17.5	18.6	14.0	—	—	—	—	—
7	9.2	17.7	—	7.5	—	—	—	—	—
8	14.3	14.1	—	17.6	—	—	—	—	—
mean	9.2	13.1	14.2	12.2	16.9	15.0	17.1	15.0	12.7

積込効率を求め図-11に示した。積込効率は通常積載土量の増加とともに漸減するものとされているが、本試験ではこのような傾向は見られず、またポンプ回転数を3ノッチに下げた試験(D-8)でも、その他の試験(4ノッチ)に比べて、積込効率には目立った相違は示されていない。おおむね $5\sim80\%$ の範囲にバラツキ、傾向的なものはつかみ得ない。

なお、浚渫始めから終了までの全浚渫土量に対する全積載土量の割合、平均積込効率は表-8に示すよう $60\sim70\%$ であった。

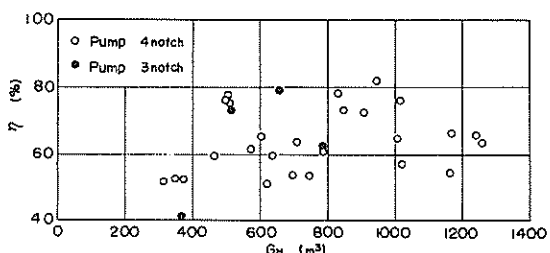


図-11 オーバフロ後の積込効率

表-8 平均積込効率

項目 Test No.	1	2	3	4	5	6	7	8	9
TD (min-sec)	95-57	87-19	81-44	102-45	72-52	67-14	62-08	52-02	58-52
Cvp (%)	-	7.5	7.9	7.1	9.9	8.6	9.4	9.5	8.2
Gd (m <sup>3</sup> )	-	1875	1849	2053	1849	1566	1521	1235	1259
GH (m <sup>3</sup> )	883	1160	1161	1256	1230	1011	1062	782	746
*η <sub>m</sub> (%)	-	61.9	62.8	61.3	67.0	64.6	69.8	63.3	59.2

\* η<sub>m</sub> = 平均積込効率

## 7.4 船速および接地圧の含泥率に及ぼす影響

ドラグアクション浚渫船の揚土能力に影響を及ぼす要因には、土質、海気象条件などの外的条件は勿論、船の運転上の条件として船速、ドラグヘッド接地圧、ドラグヘッド形状、吸込口流速などがあげられる。

本試験ではこれら要因の中、特に船速および接地圧の影響を調べた。すなわち、試験 D-2～D-4においてはスエルコン圧力の初期設定値を 20 kg/cm<sup>2</sup> に保ち、2 行程づつ目標船速を 1.5、2.5、3.0 および 4.0 kt に変え、また D-5～D-6 においては目標船速を総て 3.0 kt とし、2 行程づつ接地圧を 7.5、10 および 12.5 ton に変えた。

各試験時の船速、含泥率およびスエルコン圧力を附表-4 に示す。表中の区間 AB および BC は、図-2 で判るよう、それぞれの区間の N 値が異なり、また含泥率の記録からもこの影響が明瞭に見られることから、各行程を 2 区間に分けたものであり、矢印は浚渫方向を示す。

船速は南防波堤上の標識 AB および BC 間を通過する時間より求めた平均船速であるが、風浪その他のために必ずしも目標船速を保ち得なかつた。

含泥率は各行程の初めの漸増部および終りの漸減部を除き、いわゆる純浚渫中（前記浚渫時間とは異なる）の記録を上記区間別に分け、各々の平均含泥率および最高最低含泥率を示す。

スエルコン圧力は各行程中の平均指示圧力であるが、海底の凹凸およびスエルのため 2～3 kg/cm<sup>2</sup> 程度の変動が見られた。

図-12 はスエルコン圧力 17～19 kg/cm<sup>2</sup>（接地圧 11～12 ton）のもののみを抽出し、船速 0.5 kt づつに区分して、各々の平均値とそのバラツキの範囲を示したものである。バラツキが多く、且つ 2 kt 以下および 4 kt 以上のデータが少ないので、本結果から最適船速をリコメンドすることは難があるが、平均値からは 2～4 kt の間に含泥率のピークがあるものと推察されよう。また AB 区間の含泥率は BC 区間のそれより約 20 % 高く、N 値による相違が表われたものと解される。

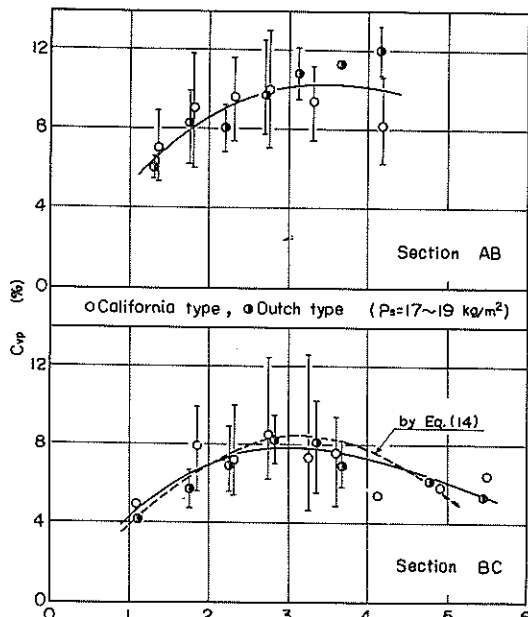


図-12 船速と含泥率

ここで船速の含泥率に及ぼす影響を今までの試験結果と若干の仮定を入れて考えてみよう。単位時間内に浚渫する土量 ( $g_D$ ) および含泥率 ( $Cvp$ ) は、

$$g_D = 0.514 Bd \cdot d \cdot V_s \quad \dots \dots \dots (7)$$

$$Cvp = g_D / \frac{Q_m}{60} \quad \dots \dots \dots (8)$$

ただし、 $Bd$  = 浚渫幅 (m)

$d$  = 浚渫土厚 (m)

$V_s$  = 船速 (kt)

$g_D$  = 単位時間当り浚渫土量 ( $m^3/min$ )

浚渫幅は海底状態の土質およびドラグヘッド形状によって異なり、また浚渫土厚については次のように考える。すなわち船速ゼロの場合に吸込み得る土厚を  $d_0$  とし、この深

までの土砂を吸込むに要する時間を  $t_0$  、また海底の或る断面をドラグヘッドが通過するに要する時間を  $t_d = L_h / 0.514 V_s$  ( $L_h$  はドラグヘッド長さ) とすると、 $t_0 \leq t_d$  の範囲の船速ではいずれも浚渫土厚は  $d_0$  である。しかしそれより速い船速になると、或る断面の土砂が完全に吸上げられる以前にドラグヘッドが通過してしまうから、船速が大きくなるにつれて  $d$  は小さくなる筈である。したがって  $t_0 = t_d$  における船速を  $V_{so}$  とすると、浚渫土厚は次のよう示される。

$do$  は土砂の  $N$  値、土粒子の大きさ、吸込口の流速、ジェット圧力などによるものであり、 $f(V_s - V_{so})$  の関数形は土質や接地圧などによって決められるものであろう。

一方、瀉渫時の吐出量( $Q_m$ )は、

であり、 $f(C_{vp})$ は土砂の粒度構成およびポンプ形状による。式(7)、(8)、(9)および(10)から、含泥率と船速の関係は次のように示すことができる。

$$Cv_p = \frac{0.514 Bd \cdot Vs \{ do - f(Vs - Vs_o) \}}{Qw \{ 1 - f(Cv_p) \}} \quad \dots \dots (11)$$

いま、波濤幅については簡単のためにドラグヘッドの幅  $Bh$  (カルフォルニヤ・タイプ = 2.9 m, ダッヂ・タイプ = 2.6 m) とし、試験結果から波濤土厚を算出して船速との関係を示したのが図-13である。ただし、波濤土厚は

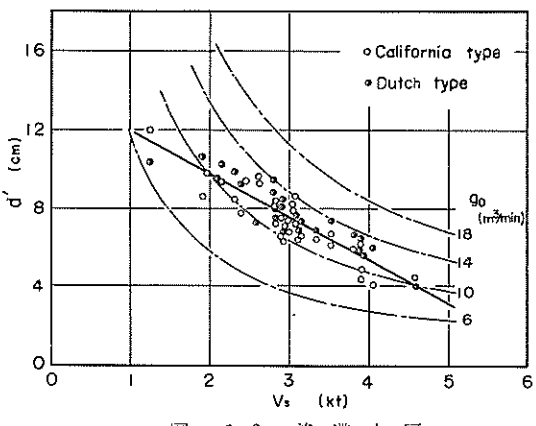


図-1-3 波濫土厚

海底状態における厚さ( $d'$ )に関するため、土砂の見掛け比重2.0として補正した値を示す。この図からは、 $d_0$ は勿論 $f(V_s - V_{so})$ の適確な函数形を導くことはできないが、いま $d'$

は  $V_s$  に対してほぼ直線的に減少し、また  $t_0=t_d$  における船速を  $0.5 \text{ kt}$  とすると

また、吐出量は図-8に示すように

したがって、含泥率と船速の関係は、

$$Cv p = \frac{Vs \{ 11.22 - 2.07(Vs - 0.5) \}}{\frac{Qw(1 - 2.6Cv p)}{6.0}} \dots \dots \dots (14)$$

式(4)において、 $Qw=11000m^3/h$  として  $Cup-Vs$  曲線を示すと図-12の点線のようになり、約  $3\text{ kPa}$  でピークが現われ、測定結果の平均値より求めた曲線に近似する。

次に、接地圧の含泥率に及ぼす影響を調べるために、 $V_s=2.5 \text{ kN} \cdot \text{m}^2$ ～ $3.5 \text{ kN} \cdot \text{m}^2$  の範囲の測定値を抽出し、スエルコン圧力を $1 \text{ kg/cm}^2$ 毎づつに区分してその平均値をプロットしたのが図-14である。非常にバラツキが多いが、接地圧を増加

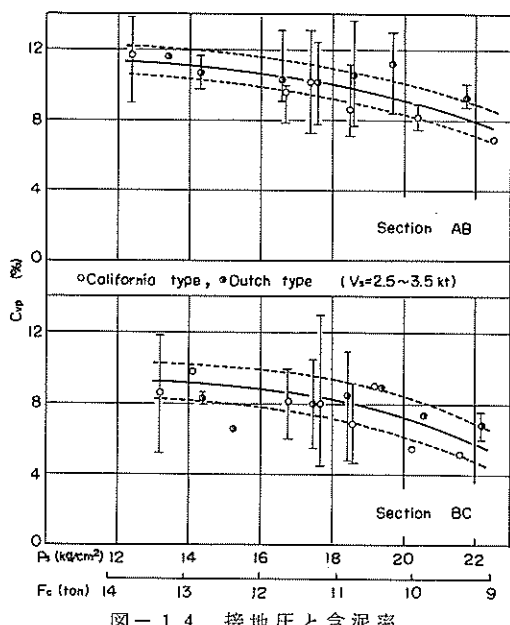


図-14 接地圧と含泥率

するとともにC含泥率が増加する傾向がみられる。しかし、スエルコン圧力 $16\text{ kg}/\text{cm}^2$ 以下および $20\text{ kg}/\text{cm}^2$ 以上のデータが少くないので、本試験のみで決定的なことは言えないだろう。

### 7.5 船体動揺とスエルコンベンセータの変位

ドラグサクション浚渫船は他の浚渫船に比べて耐波性が秀れているものの、船体動搖、特にローリングは船の作業

性を除外する因子の一つである。本試験ではジャイロ式動揺計を用いてローリング角( $\theta_j$ )および周期( $T_j$ )を測定した。

ローリング角は港外側において最も大きく、8月31日午後(D-3)に最大 $\theta_j=9.0^\circ$ を記録したが、波浪が港内側へ進むにつれて急速に減少し、BC区間ににおいては殆ど $2^\circ$ 以下であった。またローリング周期は8~11secであり、波浪周期と一致していた。

表-9は、台風の余波が残っていた8月30日および31日の風浪観測結果の平均値と最大ローリング角である。

表-9 風浪と最大ローリング角

Date	Test No.	$H_{1/3}$ (m)	$T_{1/3}$ (sec)	$V_w$ ( $m/sec$ )	$\theta_{jmax}$ ( $^\circ$ )	$\theta_{pmax}$ ( $^\circ$ )
8/30	D-1	2.34	6.1	10.9	—	6.8
8/31	D-2	2.24	9.2	4.2	7.9	7.7
	D-3	2.44	9.8	3.2	9.0	8.5

8月30日の波高は31日のそれと比べて差は少なく、風速は2倍以上あるものの、波浪周期が短かいため、8月31日よりはローリング角が小さい。

ローリング角および周期の測定には簡便な差圧式の方法も試験的に併用してみた。これは船体中央部に設置した圧力ヘッドと適当な距離を置いた水容器をビニール・チューブでつなぎ、ローリングによる水圧変動をピックアップす

るもので、水の移動が少ないから慣性による影響は少ないと思われる方法である。図-15に本方式の測定要領を示す。この図から

$$\Delta h' = \overline{A'B'} = \overline{OA'} - \overline{OB'} = h(1 - \cos \theta) + \ell_0 \sin \theta \quad (15)$$

$$\Delta h'' = \overline{B'C} = \overline{OA'} - \overline{OC} = h(1 - \cos \theta) \quad (16)$$

式(15)および(16)から

$$\Delta h = \Delta h' - \Delta h'' = \ell_0 \sin \theta$$

$$\therefore \theta = \sin^{-1} (\Delta h / \ell_0) \quad (17)$$

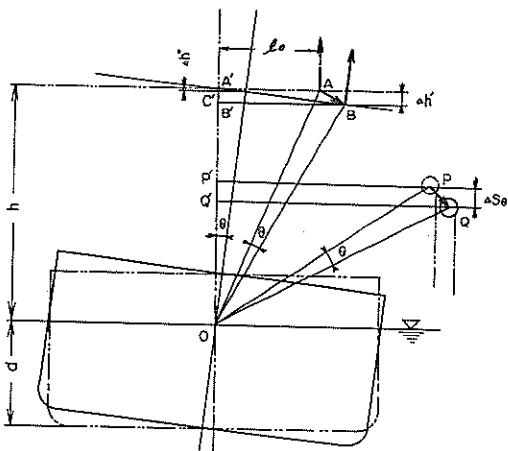


図-15 船体動揺モデル

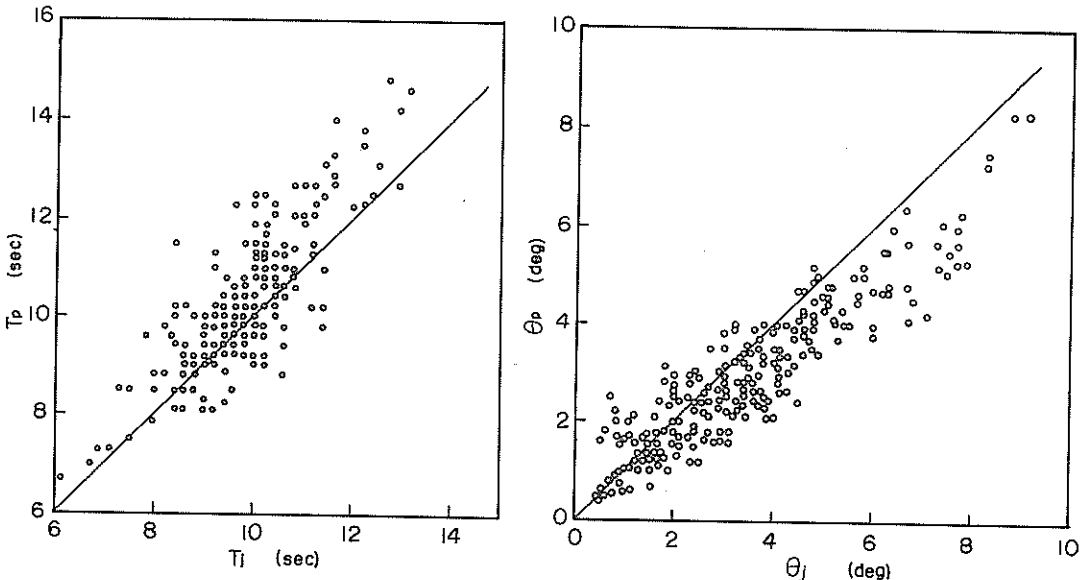


図-16 ジャイロ式動揺計と差圧式動揺測定法の周期と角度の相関

図-16は、ジャイロ式動搖計から求めたローリング角および周期と、差圧式によるそれら( $\theta_p, T_p$ )を比べたものである。図から判るように、差圧式はジャイロ式より角度で約14%少なく、周期で約5%大きく出ているが、おおむね本方式は実用に供することができると言つてよいだろ。

次に、船体動搖に伴うスエルコンベンセータの変位( $\Delta S_c$ )をポジションメータを用いて測定したが、これとローリング角から算出されるドラグヘッド吊り用ジブ頂点の垂直変位( $\Delta S\theta$ )を比較して、スエルコン・システムの追従性を調べた。

図-15において、ジブの頂点PはローリングによってQへ移り、この時垂直変位が生じる。

$$\Delta S\theta = \overline{P'Q'} - \overline{OP} \cos(\angle POQ') - \overline{OQ} \cos(\angle POQ' + \theta) \quad \dots \dots \dots \quad (18)$$

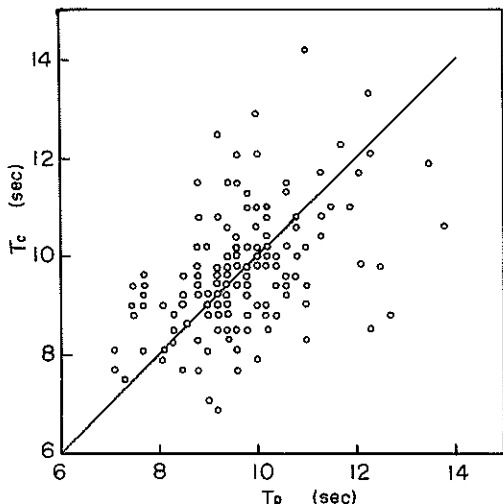


図-16 ジブ頂点の変位と船体動搖より求めた  
スエルコンベンセータの変位の相関

## 8. まとめ

今回の試験は第一特急丸の浚渫能力の実態を把握するために行われたものであるが、試験当初台風接近による作業中止と言うアクシデントがあったこと、また揚土能力に影響を及ぼす要因が数多くあって、これらを短時間で調査することは困難であることなどの理由によって、試験は船速および接地圧の影響を主眼にして行われた。

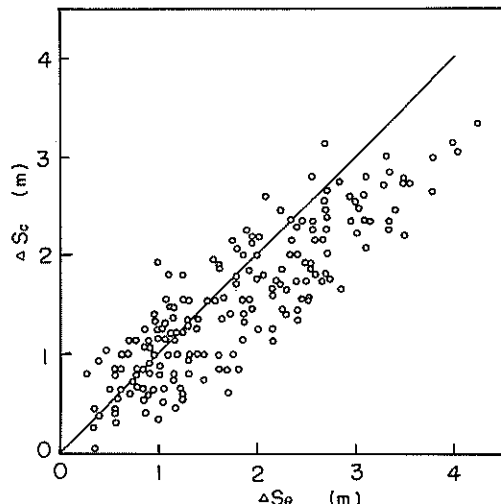
一般にこの種の現地試験においては、土質、海気象条件などの外的条件や操船上の個人差などによって予め設定した試験条件を満足させることは困難であり、測定結果にバラツキが生じることは止むを得ない。しかしながら、本船

$\angle POQ'$ はジブの張り出し角で浚渫時には約68°であり、また $OP=15m$ であるから

$$\Delta S\theta = 15 \{ \cos 60^\circ - \cos(68^\circ + \theta) \} \dots \dots \dots \quad (19)$$

スエルコンベンセータの変位は、船体動搖による変位と海底の起伏による変位とが重合したものであるから、必ずしもローリング角から求めたジブ頂点の変位と1:1の関係にはならないが、図-17によれば両者の周期および $\Delta S_c$ と $\Delta S\theta$ の相関が大略1:1であることから、殆んどがローリングによるものであると考えて差支えなく、スエルコン・システムの追従性はおおむね良好と言えよう。

また、船体動搖による揚土能力への影響は、表-5および7で判るように顕著なものはみられない。ただ、ローリング角が大きくなると浚渫ポンプ吐出量の記録が大幅に振れるが、これが現象的なものかどうかの判定は得られなかった。



には浚渫ポンプ吐出量および含泥率の自動記録システムが完備されており、多くの貴重な記録をもとに解析を進めることができ、改めてこれら計器の水力式浚渫船における重要性を認識させられた。

以下、試験結果をまとめてみると次の通りである。

- (1) 浚渫ポンプの送水時の作動点は、ほぼ工場試験で得られた特性曲線上に確認できたが、設計点( $8000m^3/h \times 17m \times 170 rpm$ )に対して吐出量は $155 rpm$ で約 $9600 m^3/h$ これを規定回転数に換算すれば設計点の約50%増になる。吐出量の多少は別問題としても設計時の管路抵抗の過大評価の表われであろう。

また、浚渫時のポンプ作動点の移動傾向を管路抵抗および吐出量低下より求めたが、揚程比( $H_m/\gamma_m H_w$ )は低含泥率において1に近く、含泥率の増加に伴なって漸減する。

(2) 吸込管側の土質係数 $\beta$ は含泥率の増加とともに増加する傾向がある。高含泥率になるとドラグヘッドの土中の喰込みが多いために入口抵抗が増大するためのものであり、低含泥率では喰込み現象が少ないので従来の $\beta$ の値に近い。

(3) 浚渫ポンプ吐出量と含泥率の自動記録からは、これらの相対的な変化が明瞭に示される。吐出量は含泥率にほぼ反比例して低下し、それらの積として与えられる浚渫土量は含泥率約19%においてピークを示す。實際上はこの値を超過することは殆んどないから、含泥率の増加は即浚渫土量の増加と考えてよい。

(4) 挖削用ジェットを用いない試験は1サイクルのみであり、且つ吐出量および含泥率の記録が取れなかったので、ジェット使用時の結果と比較するには不十分であるが、単位時間当たり積載土量で比べてみると約50%増となっており、ジェットの効果はかなりあるものと推察されよう。しかしジェットの効用はあくまでも土質如何であり、軟土質に対しては土砂の飛散もあって逆効果ともなり得ないし、硬土質( $N$ 値>50)に対しては今後の研究課題である。

(5) オーバフロ後の積込効率は50~80%と非常にバラツキが多くて傾向的なものはつかみ得なかった。これは各行程の積載土量を航行中の喫水から求めたことや、喫水の微小の読み取り誤差(喫水1cm当たり積載土量約10m<sup>3</sup>に相当する)に起因するものであろう。しかし、全浚渫土量に対する全積載土量の比として示される平均積込効率は、おおむね60~70%の範囲にあった。

(6) 船速および接地圧の含泥率への影響は本試験の主要目的であった。船速は当初予定した設定値を保つことが難しく2.5~3.5ktの範囲に集中したが、浚渫土厚および吐出量低下の測定結果を用いた計算値では3kt前後にピークがあることが判った。勿論、このピークは土質によって異なるもので、一般には硬質土では船速の速い方へ移るものと思われる。式(9)で示される浚渫土厚は、土質、吸込口流速、ジェット圧力、接地圧などによって決められるもので、今後色々なケースについてのモデルおよび現地試験によって解明すべき問題であろう。

また、接地圧を増すと含泥率は増加する傾向にあるが、接地圧と船速は相反する素因となるため、一概に接地圧の増加のみを強調することはできない。

なお、ドラグヘッドによる相違は、頗る著しいものはみら

れなかった。

(7) 船体動搖をジャイロ式動搖計を用いて測定したが、ローリング角は最大9.0°、周期8~11secであった。この際の波高は2.44m、波浪周期は9.8secであり、同程度の波高でも波浪周期が短ければローリング角はそれ程大きくならない。

また、スエルコンベンセータの変位とローリング角から算出したジブ頂点の変位は、殆んど1:1の対応を示し、スエルコン・システムの追縦性はおおむね良好であると判断された。

## 9. あとがき

本試験は、特殊浚渫株式会社よりの委託で行われたものであるが、第一特浚丸の送水および浚渫時の基本的能力の実態をほぼつかみ得た。勿論、これら能力は土質その他の条件によって大幅に変るものであろうが、本報告が今後の作業指針の一助になれば幸いである。

最後に、本試験を実施するに当って格別の御協力を頂いた鹿島港工事事務所、特殊浚渫株式会社および石川島播磨重工業株式会社の関係各位に感謝する次第である。

## 参考文献

- 1) 石川島播磨重工業株式会社、2000m<sup>3</sup> ドラグサクション浚渫船「海鷺丸」、作業船、第33号、1964年5月、PP.68~91
- 2) 岩田繁男、4000m<sup>3</sup>積 ドラグサクション浚渫船計画概要、作業船 No.64 1969年7月、PP.24~30
- 3) 石川島播磨重工業株式会社、4000m<sup>3</sup> ドラグサクション浚渫船「第一特浚丸」、作業船 No.71 1970年9月、PP.3~14
- 4) 株式会社荏原製作所、第一特浚丸浚渫ポンプ試験成績表、第一特浚丸完成図書、1970年2月
- 5) 八木得次、宮崎昭児、渋谷洋一、是石昭夫、奥出律、石塚浩次、ドラグサクション浚渫船の鹿島港への適用、港湾技術資料 No.67、1963年3月、80P.
- 6) 港湾技術研究所、海鷺丸実船調査報告、第13回港湾機械技術研究会資料、1966年11月 PP.5
- 7) 長谷川源太郎、八木得次、徳永省三、浚渫ポンプの性格とその使用法、運輸技術研究所報告別冊、1958年、PP.11

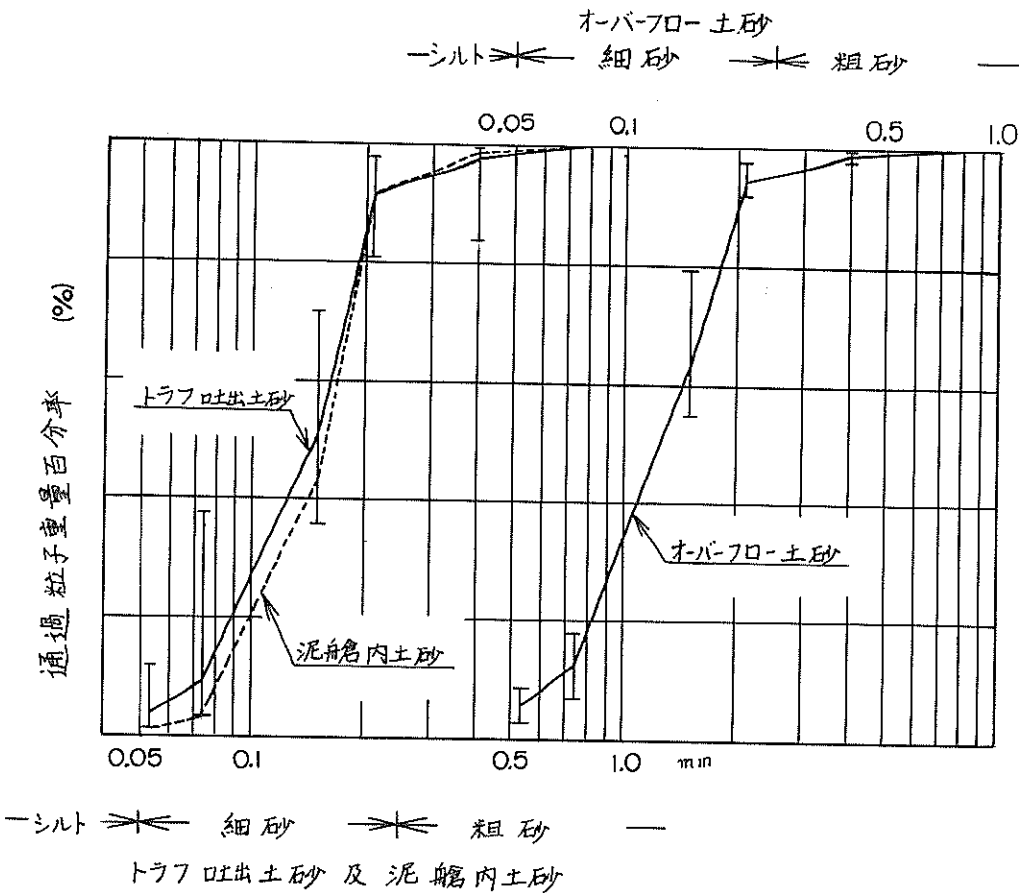
## 記号表

A = 防波堤上の標識

Ab = ポーリング地点

Ac = ポーリング地点

$B$	=防波堤上の標識	$N_p$	=浚渫ポンプ電動機出力 $\text{kW}$
$B_c$	=ボーリング地点	$n_p$	=浚渫ポンプ回転数 $\text{rpm}$
$Bd$	=ドラグヘッドによる浚渫幅 $m$	$P_s$	=スエルコン圧力 $\text{kg/cm}^2$
$Bh$	=ドラグヘッド幅 $m$	$P_j$	=ジエットポンプ圧力 $\text{kg/cm}^2$
$C$	=防波堤上の標識	$Q_m$	=浚渫時のポンプ吐出量 $m^3/h$
$C_{vH}$	=泥艶内平均含泥率 %	$Q_w$	=送水時のポンプ吐出量 $m^3/h$
$C_{vo}$	=オーバフロ含泥率 %	$R$	=曲管の曲率半径 $m$
$C_{vp}$	=ポンプ吐出平均含泥率 %	$Re$	=レイノルズ数
$D$	=試験番号または波浪観測地点	$S$	=浚渫行程
$D_s$	=吸込管径 $m$	$\Delta S_c$	=スエルコン変位量 $m$
$d$	=喫水または浚渫土厚 $m$	$\Delta S_\theta$	=ローリング角より求めたドラグヘッド吊り用ジブ頂点の垂直変位量 $m$
$\bar{d}$	=平均喫水 $m$	$T$	=波浪周期 $sec$
$d'$	=海底状態に換算した浚渫土厚 $m$	$T_c$	=スエルコンベンセータ変位の周期 $sec$
$do$	=船速ゼロにおける浚渫土厚 $m$	$T_D$	=浚渫時間 $min$
$d_p$	=浚渫ポンプ位置における喫水 $m$	$\Delta T_D$	=1行程中の浚渫時間 $min$
$E$	=波浪観測地点	$T_j$	=ジャイロ式動搖計によるローリング周期 $sec$
$e$	=吐出量補正係数	$T_o$	=オーバフロ後浚渫終了までの時間 $min$
$F_c$	=接地圧 $ton$	$T_p$	=差圧式動搖計によるローリング周期 $sec$
$f_o$	=曲管、ドラグヘッド、バルブ等の抵抗係数	$t_d$	=海底の或る断面をドラグヘッドが通過するに要する時間 $sec$
$G_D$	=浚渫土量 $m^3$	$t_o$	=浚渫土厚 $do$ まで吸込むに要する時間 $sec$
$\Delta G_D$	=1行程中の浚渫土量 $m^3$	$V_g$	=浚渫ポンプ吸込圧力 $cm-Hg$
$G_H$	=積載土量 $m^3$	$\tilde{V}_H$	=泥艶容積 ( $4091m^3$ )
$\Delta G_H$	=1行程中の積載土量 $m^3$	$V_s$	=船速 $kt$
$G_H'$	=見掛け比重 1.88 に換算した積載土量 $m^3$	$V_{so} = t_o = t_d$	= $t_o = t_d$ における船速 $kt$
$GHS$	=サウンディングによる積載土量 $m^3$	$V_w$	=風速 $m/sec$
$\mathcal{T}_D$	=単位時間当たり浚渫土量 $m^3/min$	$v_s$	=吸込管流速 $m/sec$
$H$	=浚渫ポンプ揚程または波高 $m$	$\beta$	=土質係数
$H_m$	=浚渫時の揚程 $m$	$\gamma_m$	=土砂水の混合比重
$H_w$	=送水時の揚程 $m$	$\gamma_s$	=土砂の真比重 (2.65)
$h$	=喫水面からブリッヂ床面までの高さ $m$	$\gamma_w$	=海水の比重 (1.025)
$\Delta h, \Delta h', \Delta h''$	=図-15に於ける記号 $m$	$\theta$	=ローリング角 $deg$
$h_{as}$	=吸込実揚程 $m$	$\theta_j$	=ジャイロ式動搖計によるローリング角 $deg$
$hrm$	=浚渫時の全管路の損失水頭 $m$	$\theta_p$	=差圧式動搖計によるローリング角 $deg$
$hrs$	=送水時の吸込管損失水頭 $m$	$\tau_o$	=オーバフロ開始までの時間 $min$
$hrw$	=送水時の全管路の損失水頭 $m$	$\eta$	=積込効率 %
$hs_m$	=浚渫時の吸込揚程 $m$	$\eta_m$	=平均積込効率 %
$hs_w$	=送水時の吸込揚程 $m$		
$ht$	=実揚程 $m$		
$hu$	=浚渫深度 $m$		
$L_d$	=浚渫ポンプの吐出管長 $m$		
$L_h$	=ドラグヘッド長さ $m$		
$L_s$	=浚渫ポンプの吸込管長 $m$		
$\ell_o$	=差圧式動搖計の検出器設置間距離 $m$		



附図-1 滂渫土砂の筋分分析

附表-1 渋滞土砂の比重測定結果

試験日	Test No.	サンプル No.	真比重	見掛け比重		試験日	Test No.	サンプル No.	真比重	見掛け比重	
				粗状態(1)	密状態(2)					粗状態	密状態
トラフで採取した土砂											
8/30	D-1	S 1	2.607	1.609	1.757	9/2	D-6	S 31	2.704	1.640	1.800
		S 2	2.556	1.645	1.762		D-7	S 32	2.677	1.620	1.804
		S 3	2.643	1.620	1.785			S 33	2.733	1.746	1.934
		S 4	2.653	1.657	1.770	9/3		S 36	2.722	1.758	1.922
		平均	2.615	1.663	1.769		D-8	S 37	2.696	1.702	1.862
							D-9	S 39	2.682	1.741	1.865
8/31	D-2	S 6	2.688	1.661	1.813	8/30	D-1	S 5	2.649	1.463	1.531
		S 7	2.634	1.666	1.824		D-2	S 10	2.678	1.678	1.831
		S 8	2.664	1.615	1.738		D-3	S 11	2.656	1.696	1.870
		S 9	2.654	1.628	1.793			S 16	2.713	1.719	1.853
		S 12	2.718	1.685	1.856				S 24	2.712	1.669
	D-3	S 13	2.569	1.613	1.781	9/1					1.851
		S 14	2.730	1.699	1.830		D-6	S 29	~	~	~
		S 15	2.776	1.715	1.839		D-7	S 34	2.673	1.643	1.809
							D-8	S 38	2.679	1.664	1.814
							D-9	S 41	~	~	~
9/1	D-4	S 20	2.683	1.672	1.843	泥船内で採取した土砂					
		S 21	2.683	1.675	1.818	8/30	D-1	S 42	~	1.733	1.879
		S 22	2.712	1.769	1.943		D-2	S 43	2.744	1.779	1.948
		S 23	2.724	1.753	1.923		D-3				
	D-5	S 25	2.734	1.733	1.891	9/2		S 44	2.742	1.786	1.964
		S 26	2.725	1.780	1.950				平均	2.743	1.766
		S 27	-	-	-						1.930
		S 28	-	-	-						

(1) 試料を十分に懸濁した後、自然沈積させ、20時間後に計測したもの

(2) 粗状態計測後、振動を与えて締め固めた状態で計測したもの

(3) D-1は掘削用ジェットを使用しない試験であり、その時の土砂採取方法は他の試験のものと異なる

附表-2 試験期間中の海気象条件

試験日	E(D)点の波				風		時 刻	試 験 日	E(D)点の波				風			
	最大波		$\sqrt{3}$ 波		風向 (方位)	風速 (m/s)			最大波		$\sqrt{3}$ 波		風向 (方位)	風速 (m/s)		
	波高 (m)	周期 (sec)	波高 (m)	周期 (sec)					波高 (m)	周期 (sec)	波高 (m)	周期 (sec)				
8/30	2.75	6.5	1.98	7.9	NN E	7.0	8		2.20	9.0	1.49	8.3	SW	5.0		
	3.10 (1.87)	6.5 (9.0)	2.03 (1.14)	7.1 (6.5)	NN E	7.5	9		1.46 (0.62)	8.0 (8.0)	1.19 (0.42)	9.2 (6.3)	SW	4.8		
	4.47	6.0	2.18	7.3	NN E	10.3	10						SSW	7.0		
					NN E	10.2	11		1.81	7.5	1.27	9.3	SSW	6.0		
					NN E	11.7	12						SSW	8.0		
	3.53	6.5	2.49	5.8	NN E	12.0	13		1.71	11.5	1.34	9.0	SSW	8.5		
	2.93	5.0	2.42	6.1	NE	11.5	14						SSW	10.0		
	3.78 (1.40)	5.0 (7.0)	2.27 (1.06)	5.8 (5.4)	NN E	9.8	15		1.72 (0.47)	9.0 (6.0)	1.39 (0.33)	9.0 (6.5)	SSW	9.5		
	3.10	6.0	2.39	6.2	NN E	10.0	16						SSW	8.0		
	3.10	5.0	2.15	6.5	NN E	11.0	17		1.29	7.5	1.03	8.0	SSW	9.5		
8/31	2.84	6.5	2.22	8.3	NN E	5.2	8		1.29	8.0	1.00	9.1	W	5.0		
	2.92	9.5	2.37	9.1	NN E	5.2	9						W	4.5		
	3.10 (0.94)	9.5 (5.0)	2.32 (0.76)	9.0 (6.5)	NN E	4.2	10		1.63 (0.47)	10.0 (5.0)	1.08 (0.36)	8.9 (5.6)	E	4.0		
					NN E	4.2	11						ESE	1.8		
	2.75	8.5	2.15	9.4	NN E	4.2	12		1.29	13.0	0.89	9.2	ESE	4.0		
					ENE	3.5	13						ESE	4.0		
	3.10	10.0	2.15	9.6	ENE	4.2	14		1.38	10.0	0.81	7.8	NNE	4.0		
					NE	3.7	15						E	1.8		
9/1	3.27 (0.70)	9.0 (8.0)	2.44 (0.51)	9.8 (6.8)	ENE	3.3	16		1.20 (0.47)	9.0 (5.0)	0.96 (0.33)	8.3 (5.5)	ENE	1.5		
					E	2.7	17						ENE	2.0		
	4.99	10.0	2.82	9.8	ESE	1.3	18		1.55	7.0	0.93	7.7	E	1.8		

附表 - 4 - ②

Test No.	S	Section	Vs (kt)	C v p			(%)			Ps (kg/cm²)	
				Pump No. 1			Pump No. 2			Starboard	Port
				Mean	Max	Min	Mean	Max	Min		
D-3	1	C → A	1.64 2.54	4.6 6.9	8.6 11.2	2.6 2.8	6.5 9.0	11.0 15.4	8.8 4.4	18.2 19.0	18.4 18.0
	2	A → C	1.51 3.02	9.5 12.5	11.2 18.0	7.6 8.4	9.6 11.8	12.8 14.6	7.4 7.8	17.5 18.0	16.7 17.0
	3	C → A	3.18 2.20	3.4 7.2	4.7 10.2	2.0 3.4	4.5 6.2	9.0 10.0	2.6 3.0	18.6 17.5	18.5 17.1
	4	A → C	1.69 2.66	8.2 6.0	12.6 9.8	4.0 2.6	8.4 7.0	12.8 15.2	5.0 2.6	17.6 17.9	16.8 16.4
	5	C → A	3.14 2.62	4.4 9.1	5.8 13.4	3.4 3.8	6.3 8.8	7.6 14.8	3.8 4.7	17.7 17.5	17.5 16.3
	6	A → C	1.91 2.94	11.4 8.0	14.2 15.5	8.0 3.4	9.6 7.8	11.4 16.0	6.2 3.0	17.5 18.1	16.1 16.9
D-4	1	C → A	2.12 1.23	5.1 5.8	10.2 9.0	3.0 1.1	5.7 5.3	12.4 9.8	3.4 2.8	17.9 17.4	16.6 16.2
	2	A → C	1.85 1.08	5.8 4.7	9.8 17.0	2.4 2.6	6.1 4.0	9.0 7.0	3.4 2.6	17.4 17.4	16.3 17.8
	3	C → A	2.35 2.65	5.5 4.5	8.6 7.4	3.2 2.8	5.5 5.5	8.0 7.7	3.0 4.0	17.3 17.1	16.8 16.8
	4	A → C	1.82 1.87	9.4 11.5	13.7 17.6	6.4 7.7	5.7 4.6	8.4 8.2	2.4 2.2	16.9 17.4	16.1 16.7
	5	C → A	2.45 3.05	9.9 7.6	14.2 10.8	3.8 3.0	8.7 10.8	14.2 15.4	4.8 7.2	17.7 18.5	16.7 17.5
	6	A → C	2.38 2.78	10.8 12.2	15.2 17.8	4.7 8.2	5.3 7.4	7.6 15.8	3.8 3.0	16.9 18.3	15.9 17.0
	7	C → A	4.88 4.21	5.5 7.4	7.6 16.2	4.2 4.8	5.9 13.0	9.6 18.0	3.8 8.2	17.8 18.5	17.9 17.8
	8	A → C	3.48 3.58	10.8 11.5	14.0 18.8	6.4 8.0	10.5 7.2	13.2 11.2	5.0 3.2	17.0 18.6	16.7 18.4
D-5	1	C → A	4.79 3.48	3.2 6.7	3.6 12.0	2.6 3.8	9.2 11.3	11.2 18.0	6.6 6.6	22.3 22.5	20.5 20.0
	2	A → C	2.30 3.62	7.3 5.0	13.9 8.6	5.3 2.4	10.7 8.4	16.8 15.0	6.2 4.4	20.1 21.6	20.3 21.6
	3	C → A	3.32 2.89	5.6 9.3	9.4 13.7	4.0 7.0	6.2 8.4	9.8 14.4	4.2 5.6	17.8 17.8	18.6 18.0
	4	A → C	1.70 2.54	9.8 12.7	15.0 19.2	3.8 7.8	8.8 10.6	14.2 17.3	3.0 4.2	17.6 17.6	17.3 18.3
	5	C → A	3.09 2.37	9.5 10.3	14.2 13.5	6.8 6.2	7.8 20.4	24.8 35.3	4.0 11.8	13.4 12.7	14.1 13.2
	6	A → C	2.51 2.28	13.1 11.5	15.8 15.4	8.4 8.4	11.3 8.2	15.8 18.8	5.0 2.2	12.0 13.3	13.4 14.8

附表一4-③

Test No.	S	Section	$V_s$ (kt)	CvP (%)						$P_s$ (kg/cm <sup>2</sup> )	
				Pump No.1			Pump No.2				
				Mean	Max	Min	Mean	Max	Min	Starboard	Port
D-6	1		4.16	5.1	9.0	3.4	5.4	9.8	3.0	18.7	21.2
			3.56	7.8	15.4	3.6	9.8	19.9	4.0	20.8	22.0
	2		2.65	8.7	13.0	6.4	8.6	14.6	5.4	20.3	21.5
			3.33	5.3	11.2	2.4	7.3	14.6	3.6	20.5	22.2
	3		3.31	7.0	12.4	3.4	7.3	10.8	3.0	18.0	18.8
			2.80	12.5	17.0	5.8	13.0	17.0	8.0	17.7	19.4
D-7	4		2.80	10.8	15.4	6.4	9.6	12.6	6.6	18.3	18.5
			3.09	7.3	4.6	3.8	8.7	15.8	4.2	18.7	19.4
	5		3.64	5.4	6.4	3.0	5.1	9.4	3.0	12.7	14.4
			2.59	13.8	18.4	8.0	11.3	16.7	5.8	12.4	14.1
	6		2.38	8.5	13.2	4.6	9.4	15.4	5.6	12.5	19.5
			3.24	4.9	9.0	3.4	6.3	8.8	3.4	13.1	15.3
D-8	1		3.67	4.7	6.8	3.8	6.4	8.8	3.8	17.7	18.7
			4.22	6.1	10.8	4.4	10.4	16.6	9.6	17.8	18.8
	2		2.56	10.2	16.4	5.4	12.1	18.9	4.4	17.4	17.7
			3.00	6.2	8.2	4.0	9.9	15.6	5.2	17.8	18.6
	3		3.36	4.4	6.4	2.2	9.0	15.0	4.8	17.8	19.0
			2.81	9.3	13.9	3.8	12.0	19.7	5.8	16.5	19.8
	4		2.75	10.8	15.8	7.0	10.6	14.2	4.8	17.6	15.4
			2.85	7.6	12.8	4.6	6.8	14.2	3.0	17.8	18.7
	5		3.00	11.3	15.6	6.6	12.8	17.2	6.4	17.5	18.9
			2.87	12.9	16.4	6.0	14.3	18.4	12.0	17.5	18.5
	6		1.98	7.4	11.6	3.0	7.7	13.2	2.6	17.2	-
			-	9.3	13.0	5.2	4.7	7.7	3.2	17.5	-
D-8	1		2.52	8.5	11.4	4.2	8.7	12.4	5.6	17.7	18.3
			2.41	11.2	20.4	6.8	16.8	25.0	9.8	17.3	17.5
	2		2.99	9.6	12.2	5.4	12.6	15.4	8.6	16.7	16.7
			3.62	8.2	14.5	4.7	7.2	10.2	4.7	17.5	18.4
	3		3.05	8.8	18.8	4.6	8.0	13.7	3.0	17.3	17.9
			3.02	11.1	19.2	6.8	11.7	22.4	7.6	17.3	17.8
	4		2.87	8.7	11.0	4.2	11.0	14.0	6.2	16.9	17.7
			2.97	7.9	16.9	4.4	8.0	14.6	3.6	18.5	18.1
	5		3.71	7.6	11.4	3.8	7.9	10.8	4.8	17.5	17.8
			4.10	10.4	13.0	6.0	12.8	22.2	6.8	17.4	17.0
	6		3.08	7.1	9.4	4.4	9.2	12.4	4.8	17.4	17.5
			3.12	12.5	24.1	5.6	9.0	15.4	3.8	17.9	18.2

附表 - 4 - ④

Test No.	S	Section	$V_s$ (kt)	C v p (%)						$P_s$ (kg/cm $\ell$ )	
				Pump No. 1			Pump No. 2				
				Mean	Max	Min	Mean	Max	Min	Starboard	Port
D-9	1		3.67	4.8	7.6	3.2	5.8	8.6	3.6	18.4	17.5
			3.37	8.0	11.6	4.2	10.4	14.2	4.0	18.1	17.0
	2		2.47	10.7	16.4	4.0	10.0	15.4	5.8	17.3	16.0
			3.44	4.6	10.2	1.8	5.8	10.0	3.0	18.8	16.7
	3		3.23	8.6	15.0	6.4	9.9	15.0	6.8	17.3	17.0
			2.86	7.6	10.8	4.4	8.6	17.8	4.6	17.9	17.1
	4		1.81	8.2	13.4	4.0	10.3	13.6	6.0	17.3	16.4
			2.89	6.0	10.4	2.6	7.7	16.0	3.8	18.3	16.8
	5		3.53	7.8	10.4	3.8	6.2	7.7	4.6	17.6	17.3
			2.28	8.3	12.8	4.6	16.3	33.4	6.0	17.4	16.5
	6		2.53	9.0	11.4	6.2	10.4	12.8	7.2	17.6	16.8
			3.23	5.0	11.8	2.2	7.7	14.0	4.2	18.9	17.9

港湾技研資料 No. 123

1971・6

編集兼発行人 運輸省港湾技術研究所

発行所 運輸省港湾技術研究所  
横須賀市長瀬3丁目1番1号

印刷所 株式会社 東京プリント  
東京都港区西新橋3-24-9 飯田ビル

Published by the Port and Harbour Research Institute  
Nagase, Yokosuka, Japan.